

Stratégie anti-radon pour l'experience SuperNEMO

15/05/2025

Antoine Lahaie, pour la collaboration SuperNEMO



cnrs

• Recherche de la désintégration $\beta\beta0\nu$ et expérience SuperNEMO

Le radon : un des bruits de fond majeur

Stratégies pour réduire le niveau de radon

Résultats préliminaires

• Recherche de la désintégration $\beta\beta0\nu$ et expérience SuperNEMO

Le radon : un des bruits de fond majeur

Stratégies pour réduire le niveau de radon

Résultats préliminaires

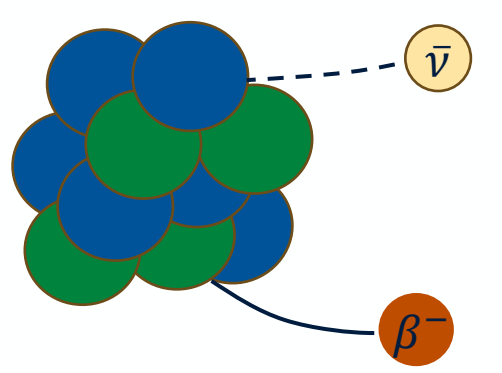


La désintégration β^-

Désintégration β^-

$$_Z^A X \rightarrow _{Z+1}^A Y + e^- + \bar{\nu}$$





Neutron se transformant en Proton

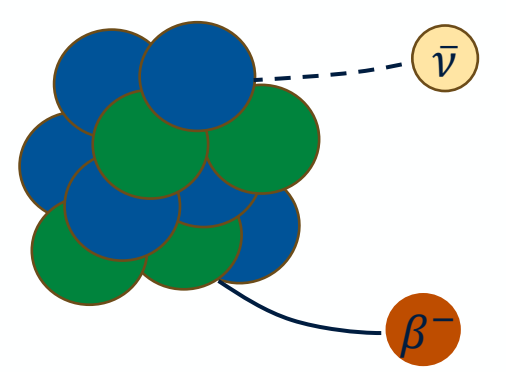


La désintégration β^-

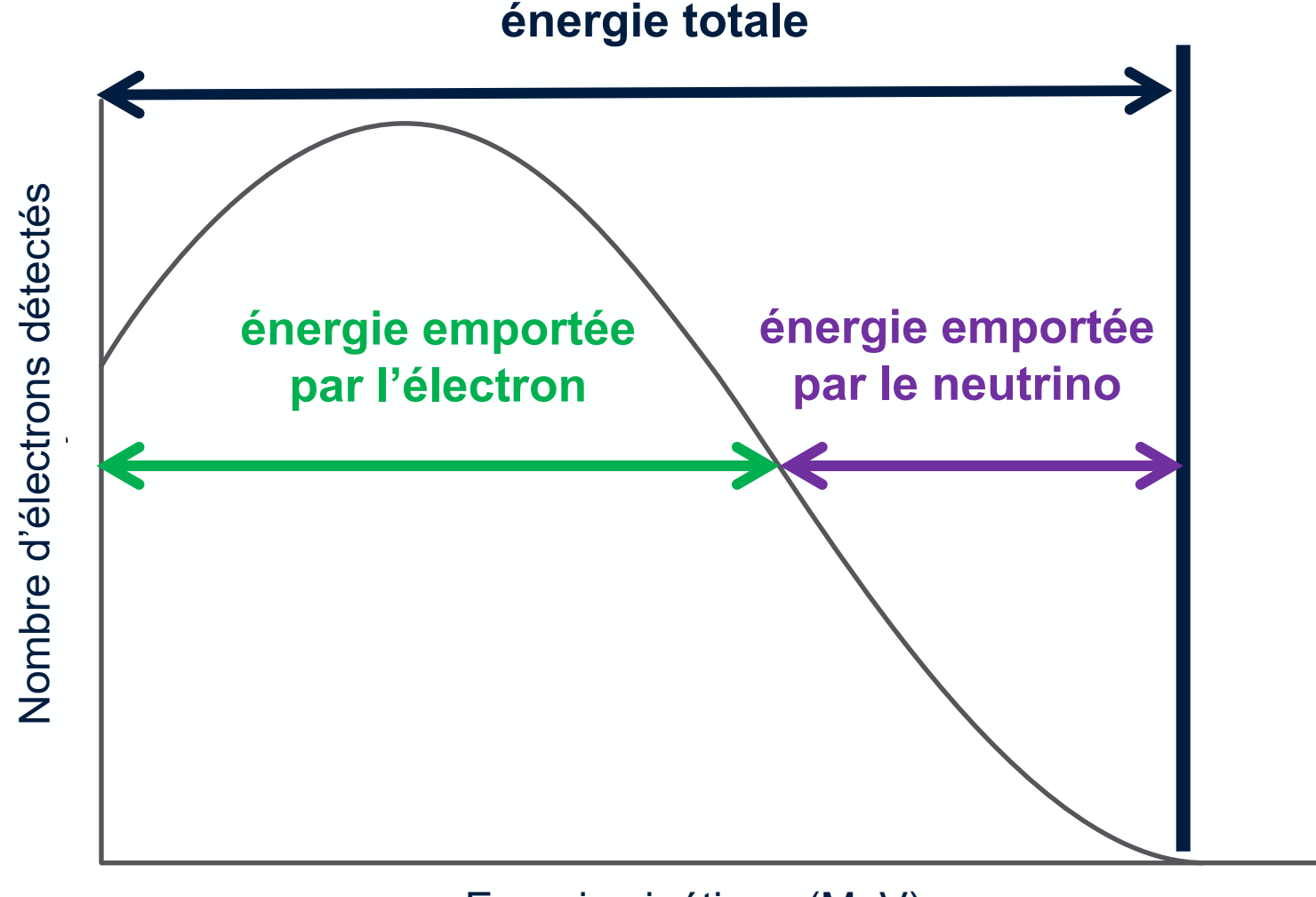
Désintégration β^-

$$_{Z}^{A}X \rightarrow _{Z+1}^{A}Y + e^{-} + \bar{\nu}$$





Neutron se transformant en Proton



Energie cinétique (MeV)

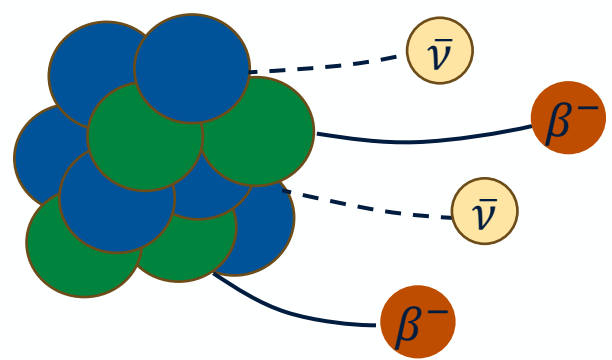


La désintégration \(\beta \beta 2\cdot \)

Désintégration double β^- avec émission de 2 neutrinos :





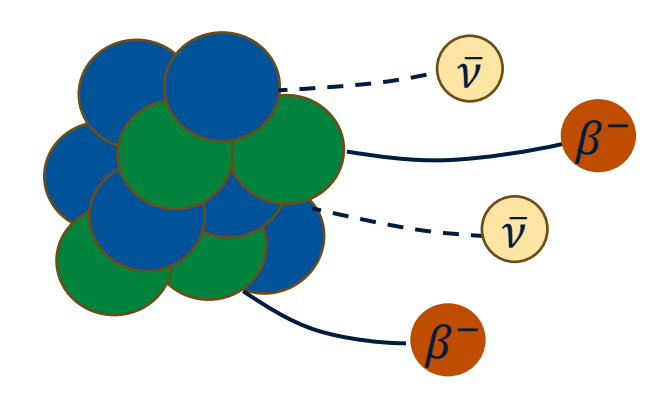




La désintégration \(\beta \beta 2\cdot \)

Désintégration double β^- avec émission de 2 neutrinos :



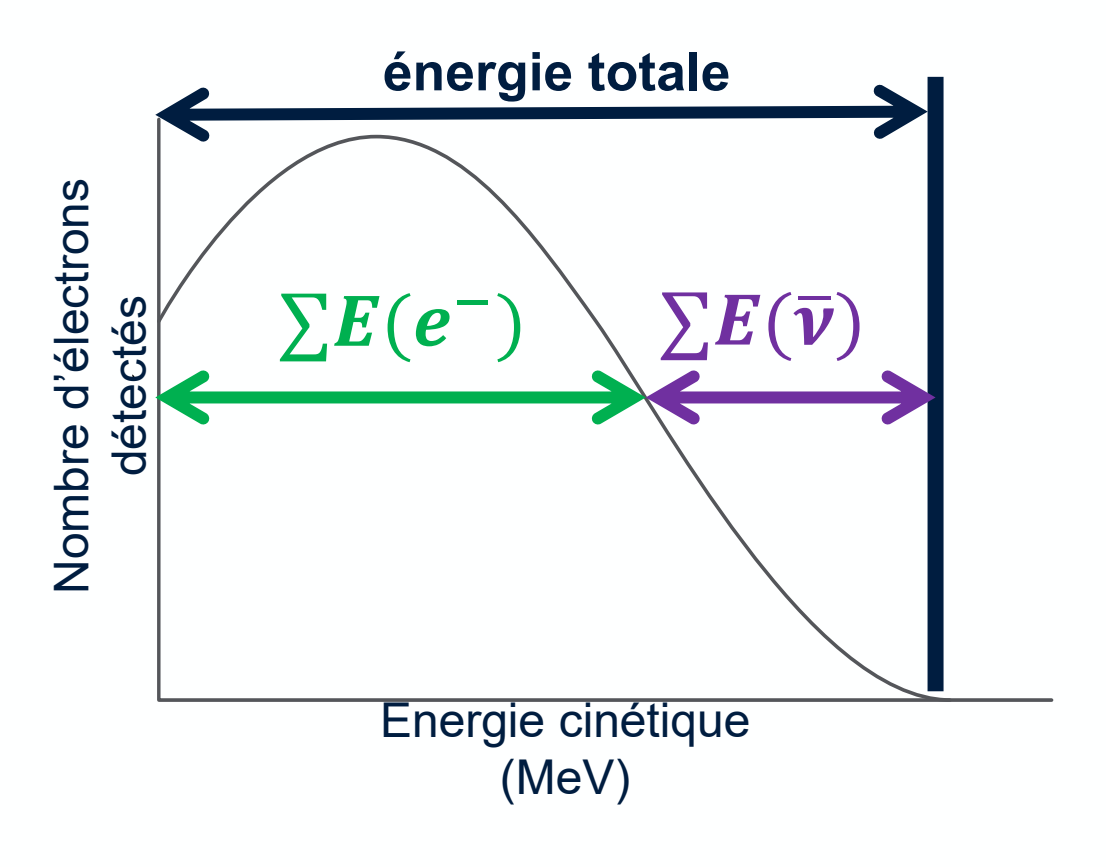


Pour le 82Se:

$$T_{1/2}^{2\nu} = 8,69 \pm 0,05(stat)_{-0,06}^{+0,09}(syst) \times 10^{19} \text{ ans}^*$$

* CUPID-0, Phys. Rev. Lett. 131, (2023) 222501

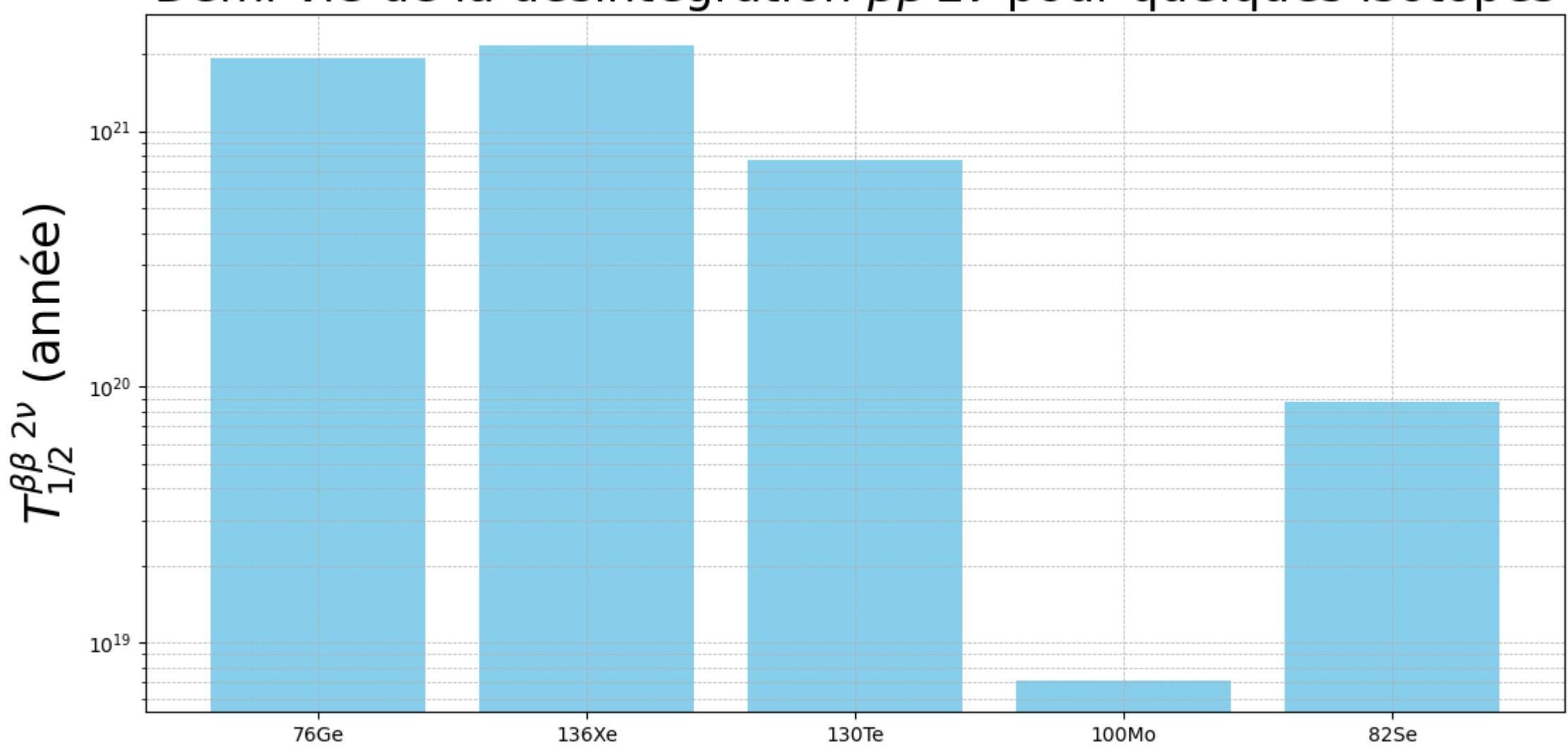
$$_{Z}^{A}X \rightarrow _{Z+2}^{A}Y + 2e^{-} + 2\bar{\nu}$$





La désintégration \(\beta \beta 2\cdot \end{arrange}

Demi-vie de la désintégration $\beta\beta$ 2 ν pour quelques isotopes



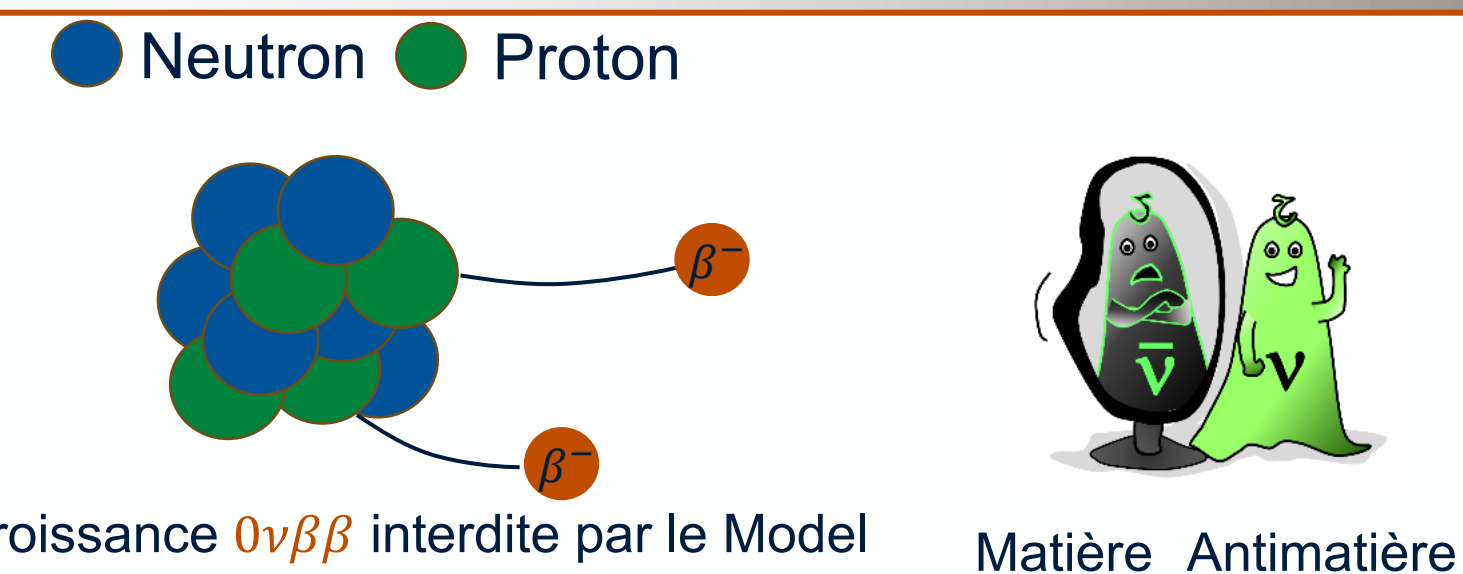


La désintégration \(\beta \beta 0\cdot \neq 0 \neq

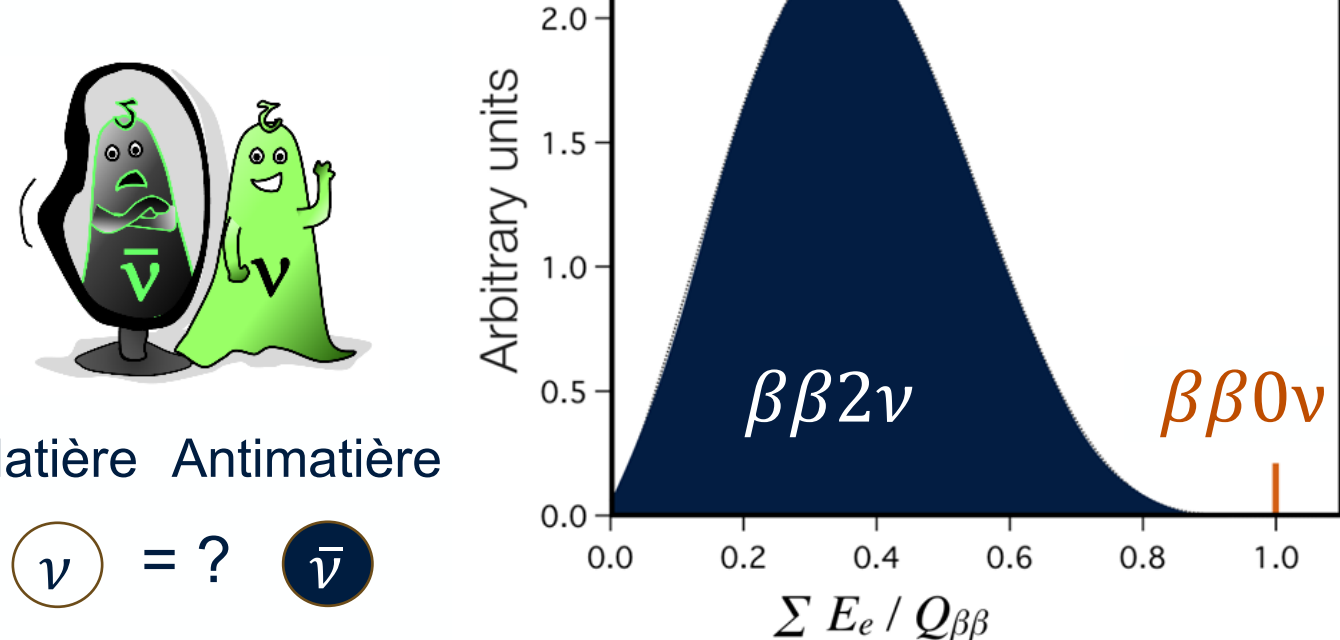




La désintégration \(\beta \beta \beta \text{0} \nu \end{arrange}



Décroissance 0νββ interdite par le Model Standard car non conservation du nombre Leptonique



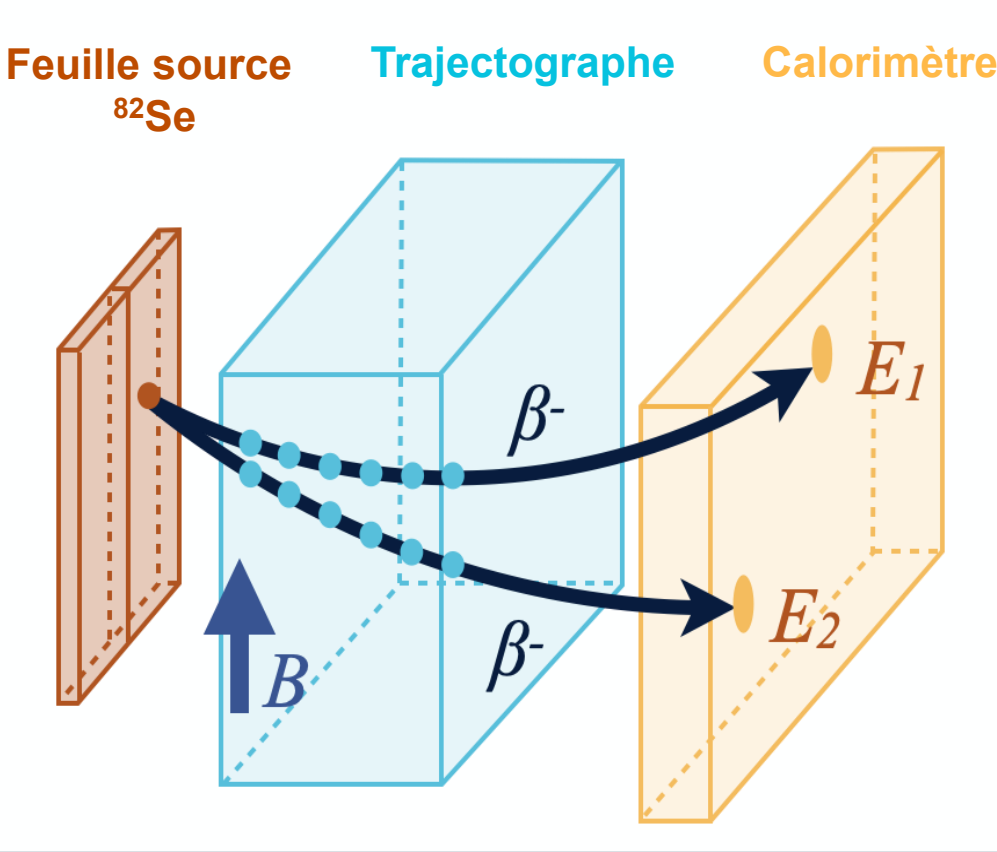
- Recherche de la $\beta\beta0\nu$ pour les neutrinos de Majorana
- Recherche de 2 électrons avec $\sum E_{e^-} = Q_{\beta\beta}$
- $T_{1/2}^{0\nu} > 10^{24}$ ans \rightarrow Ultra bas bruit de fond requis!

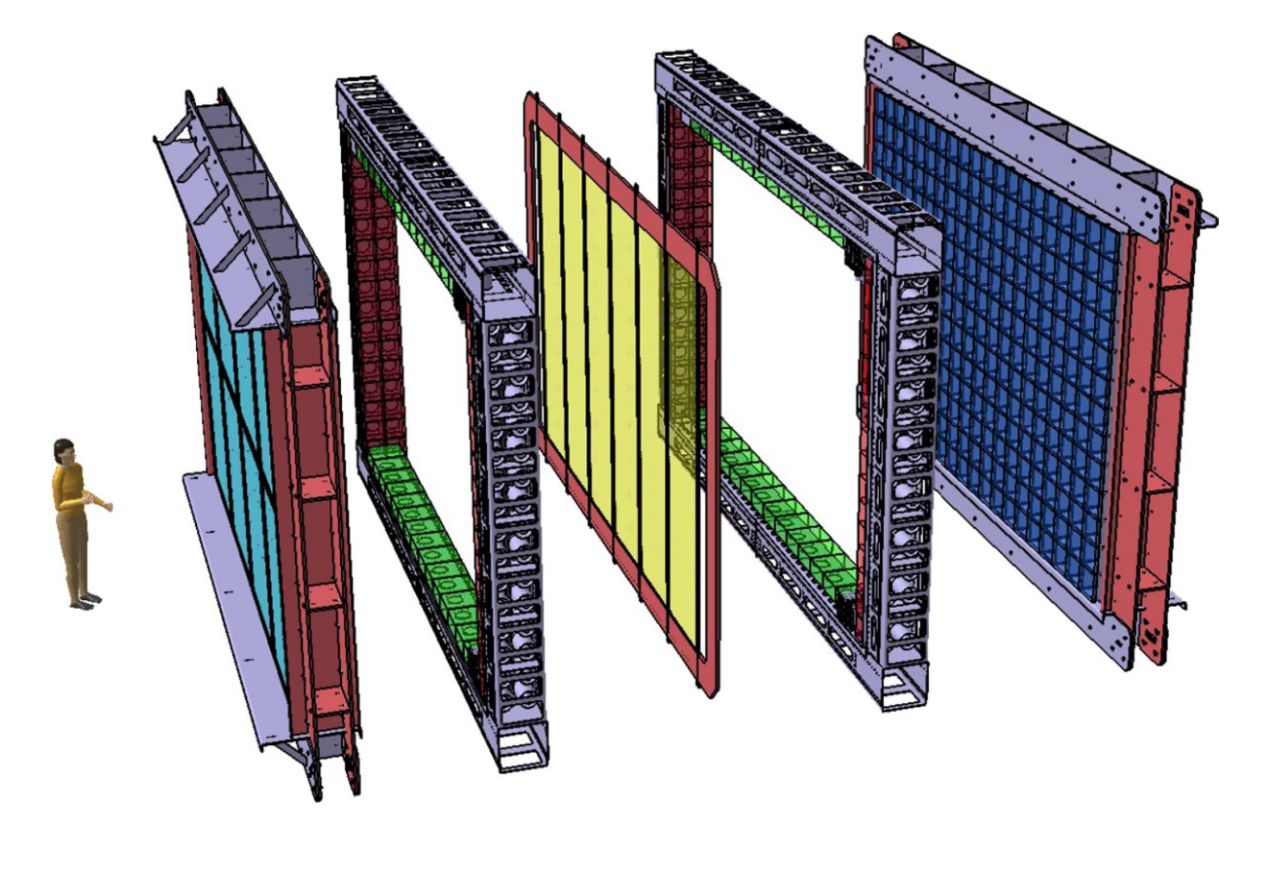


L'expérience SuperNEMO et la $\beta\beta0\nu$

Démonstrateur technologique pour la recherche de la $\beta\beta$ 0 ν

Technologie trajecto-calorimétrique unique au monde







Feuille source 82Se

Feuille source 82**Se**



- 34 feuilles de 82 Se $\sim 300 \ \mu m$ d'épaisseur pour une masse totale de 6,11 kg
- Grande chaleur de réaction $Q_{BB} = 2.998 MeV$
- $T_{1/2}^{2\nu\beta\beta} = 8.69 \ 10^{19} \ \text{années}$

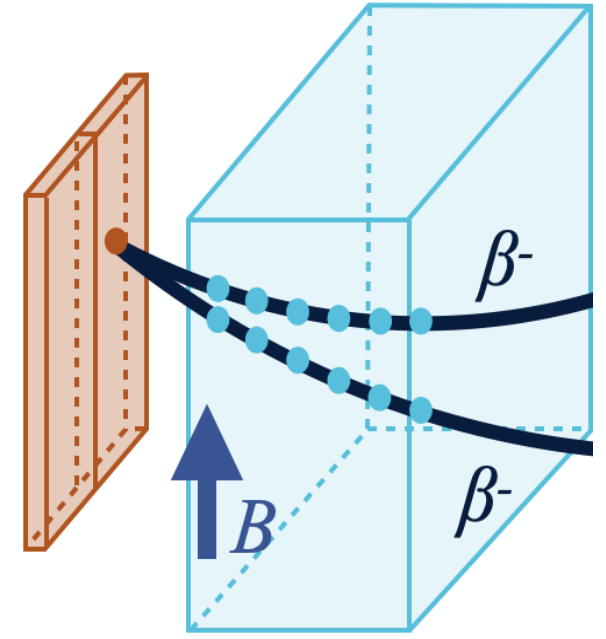


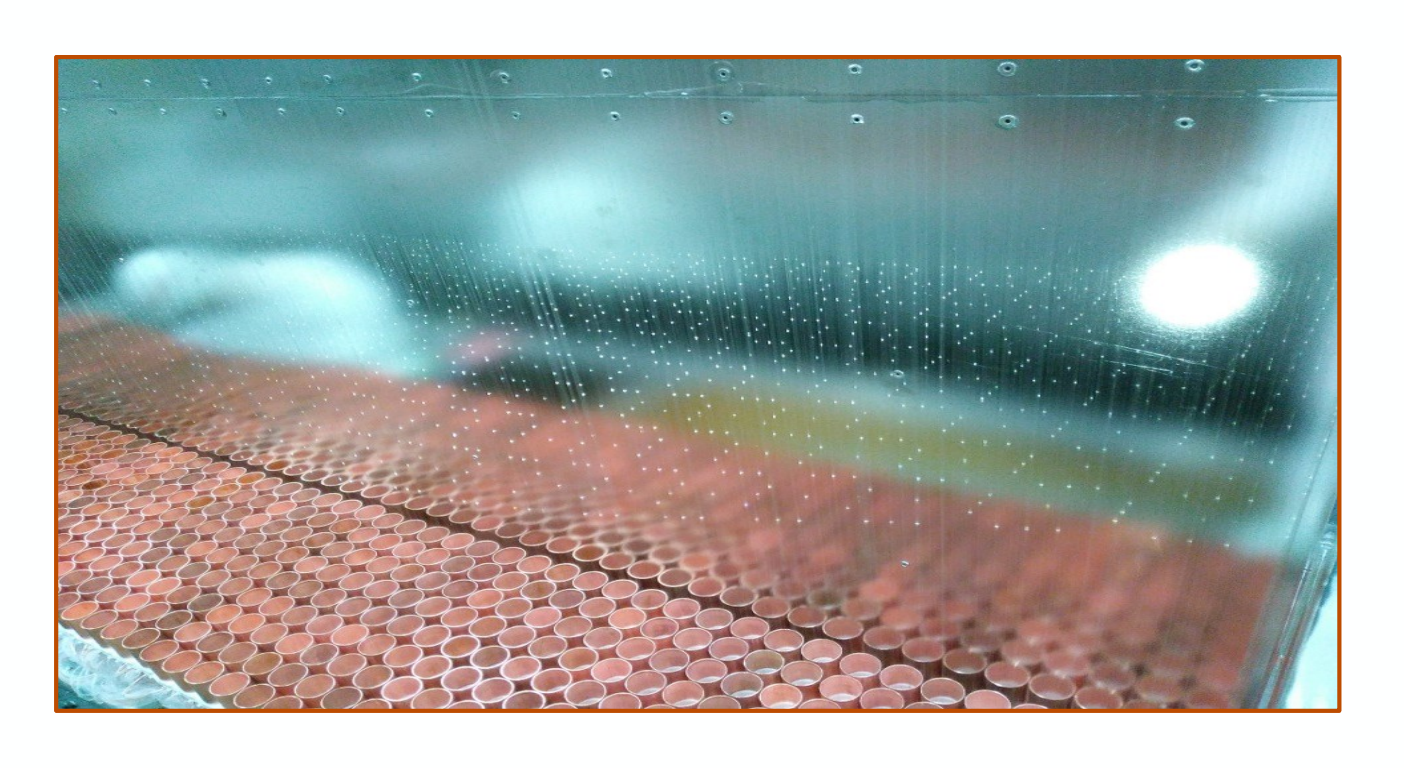


Trajectographe

Détecteur de traces : permet de reconstruire la trajectoire des particules chargées







- 2034 cellules en régime Geiger (99 % en fonction)
- Gaz d'ionisation utilisé : He (95%) + Ar (1%) + Ethanol (4%)



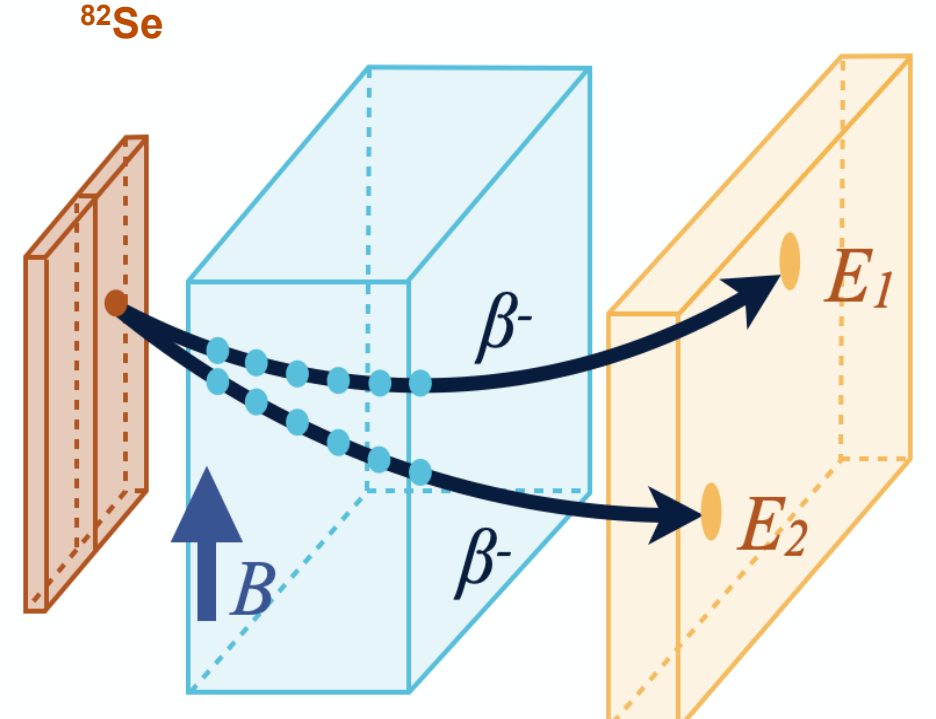
Feuille source

Calorimètre

Mesure individuelle de l'énergie et du temps de vol des particules

Calorimètre





Trajectographe

- 712 Modules Optiques Scintillateur + photomultiplicateur 8" ou 5" FWHM ~8% (e⁻@ 1 MeV)
- Très bonne résolution temporelle $\sigma \sim 250 \ ps$ ($e^- @ 1 \ MeV$)
- 97.4 % OMs opérationnels

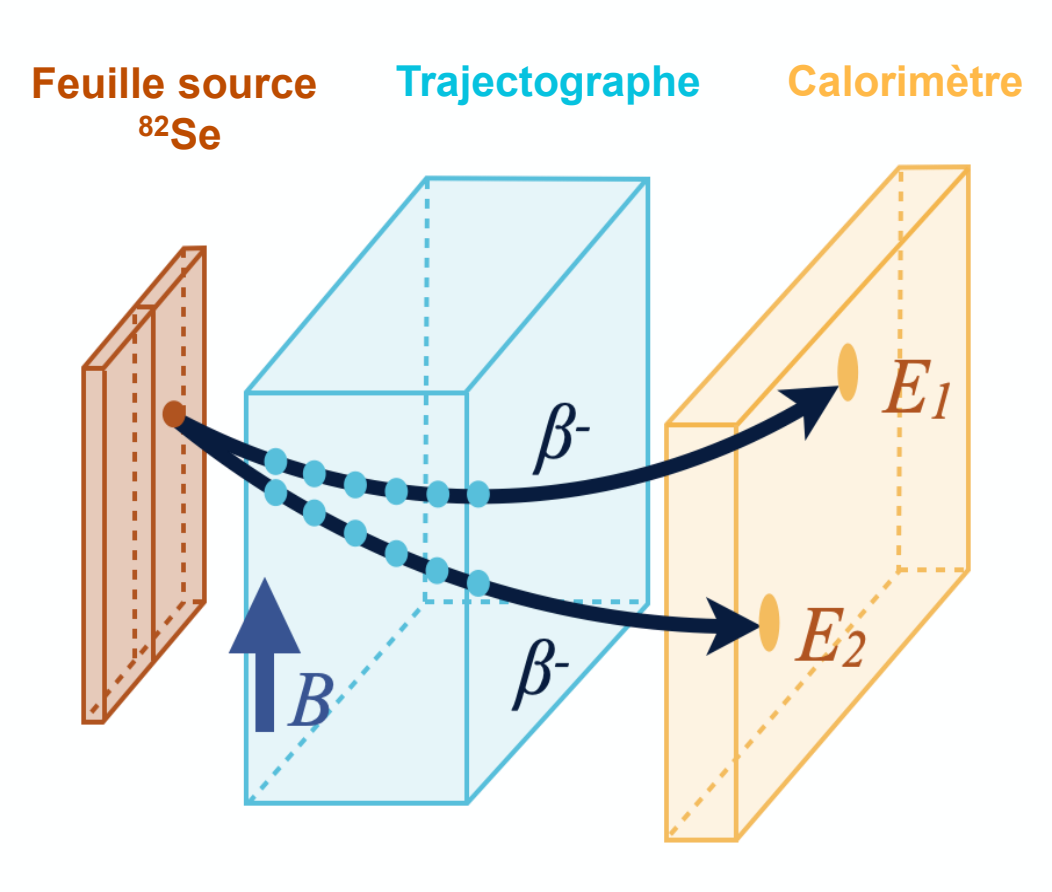


Module optique 8"



Calorimètre

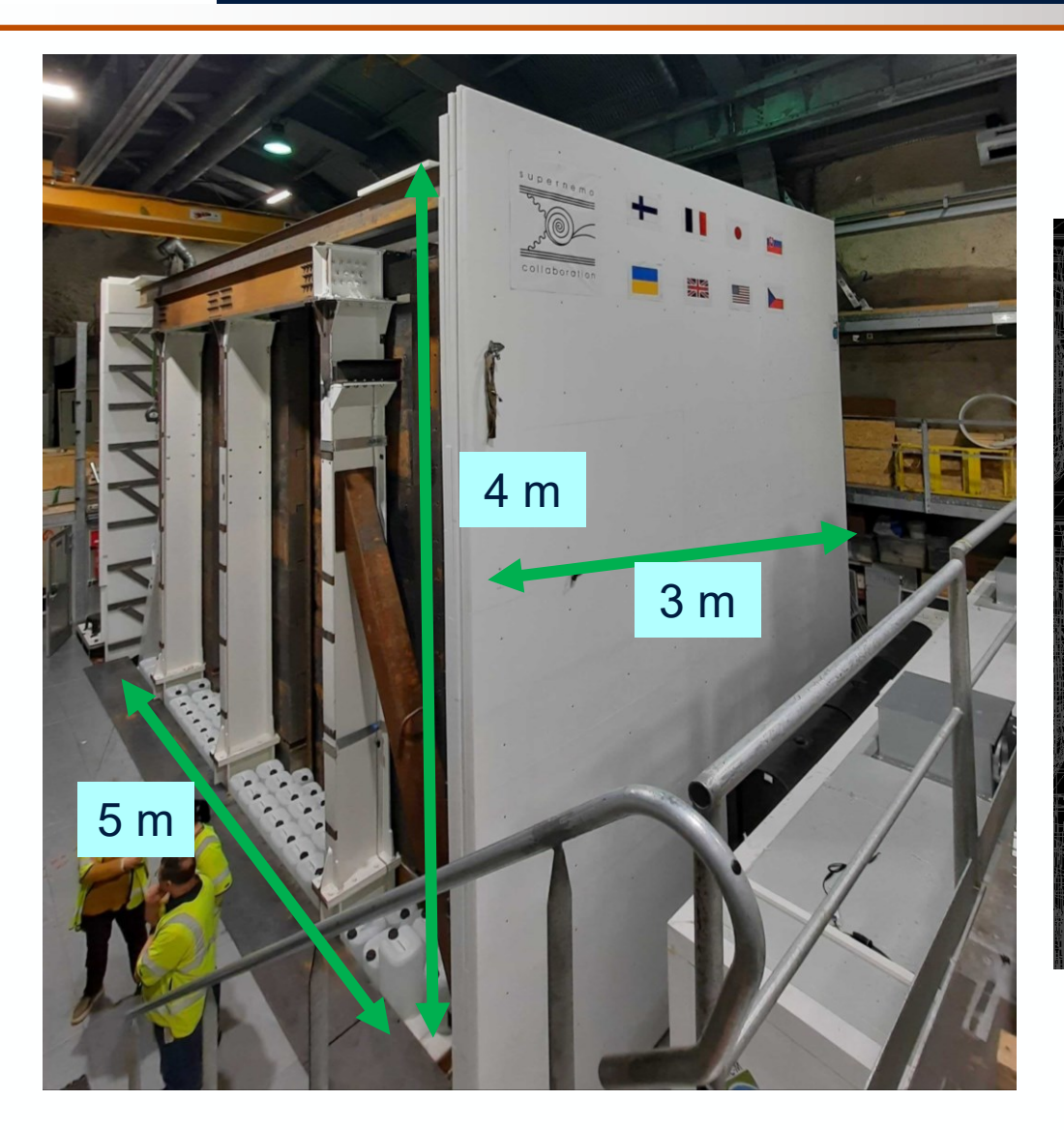
Mesure individuelle de l'énergie et du temps de vol des particules



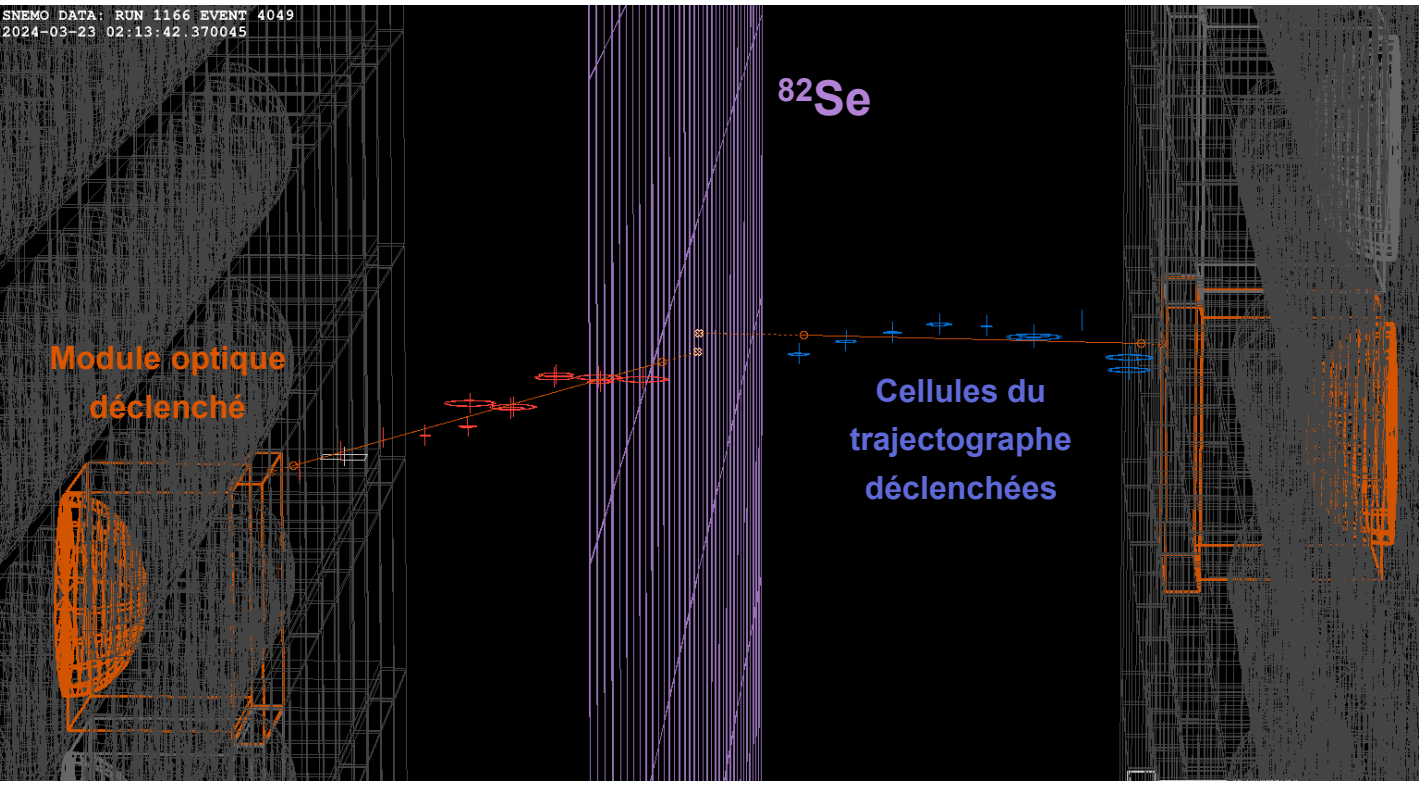




SuperNEMO



Événement réel à deux électrons vu de côté



Reconstruction topologique complète



Bruit de fond possible [0 – 3,5] MeV

- **Neutrons**: spallation (muons), fission, réactions (α, n)
 - Blindage polyéthylène (24 cm)

- Gamma : radioactivité naturelle et capture des neutrons
 - ➤ Blindage en fer (18 cm)

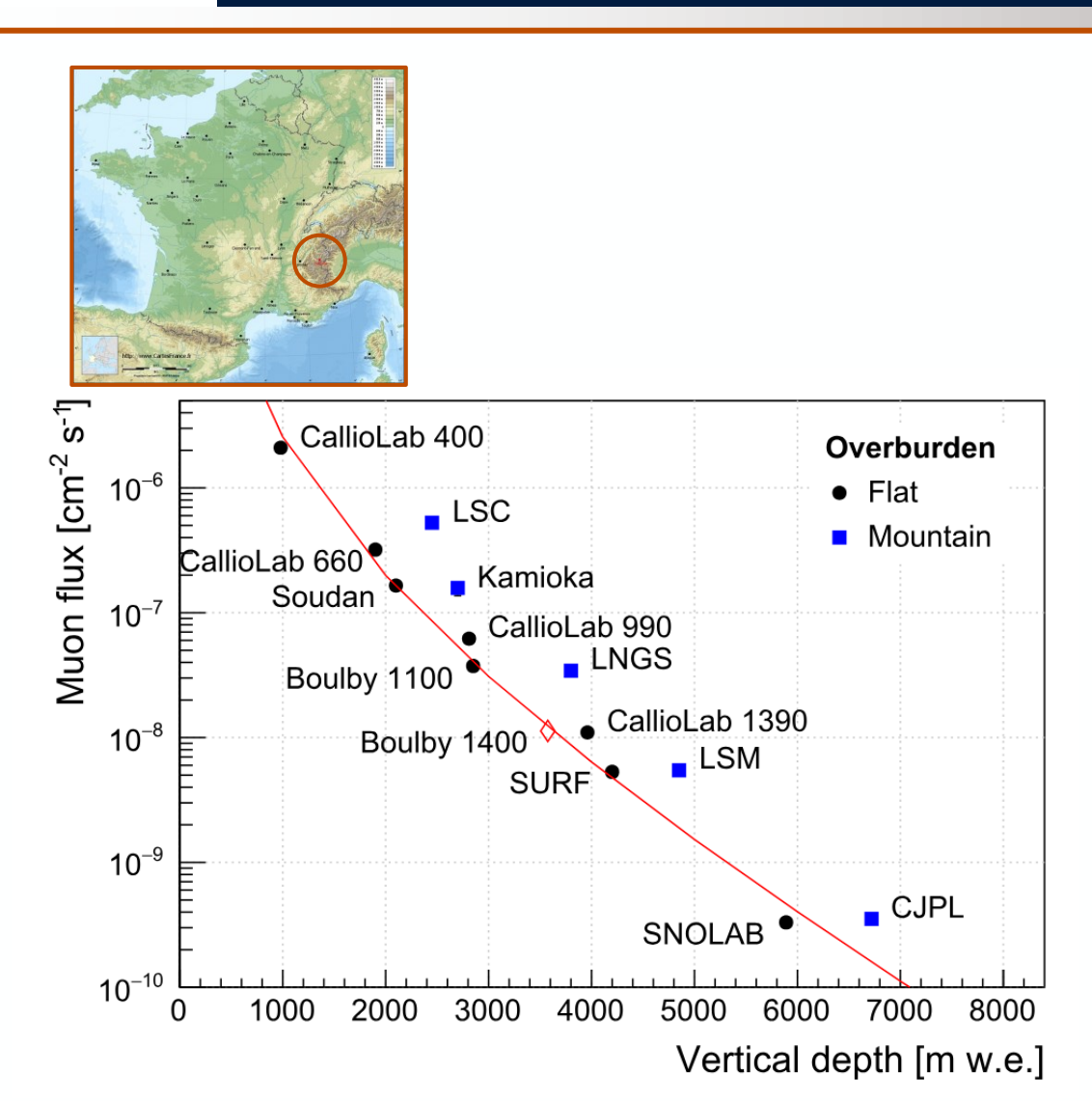
Radon : émanation des matériaux et diffusion du radon ambiant

19

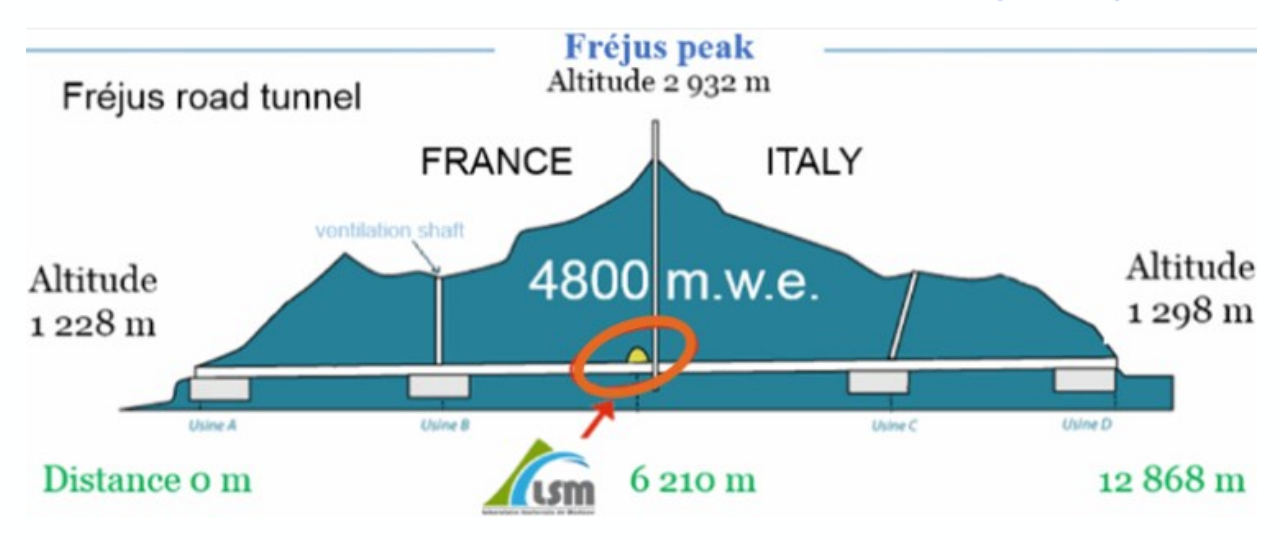
stratégie spécifique (suite)



Bruit de fond muons et neutrons induits



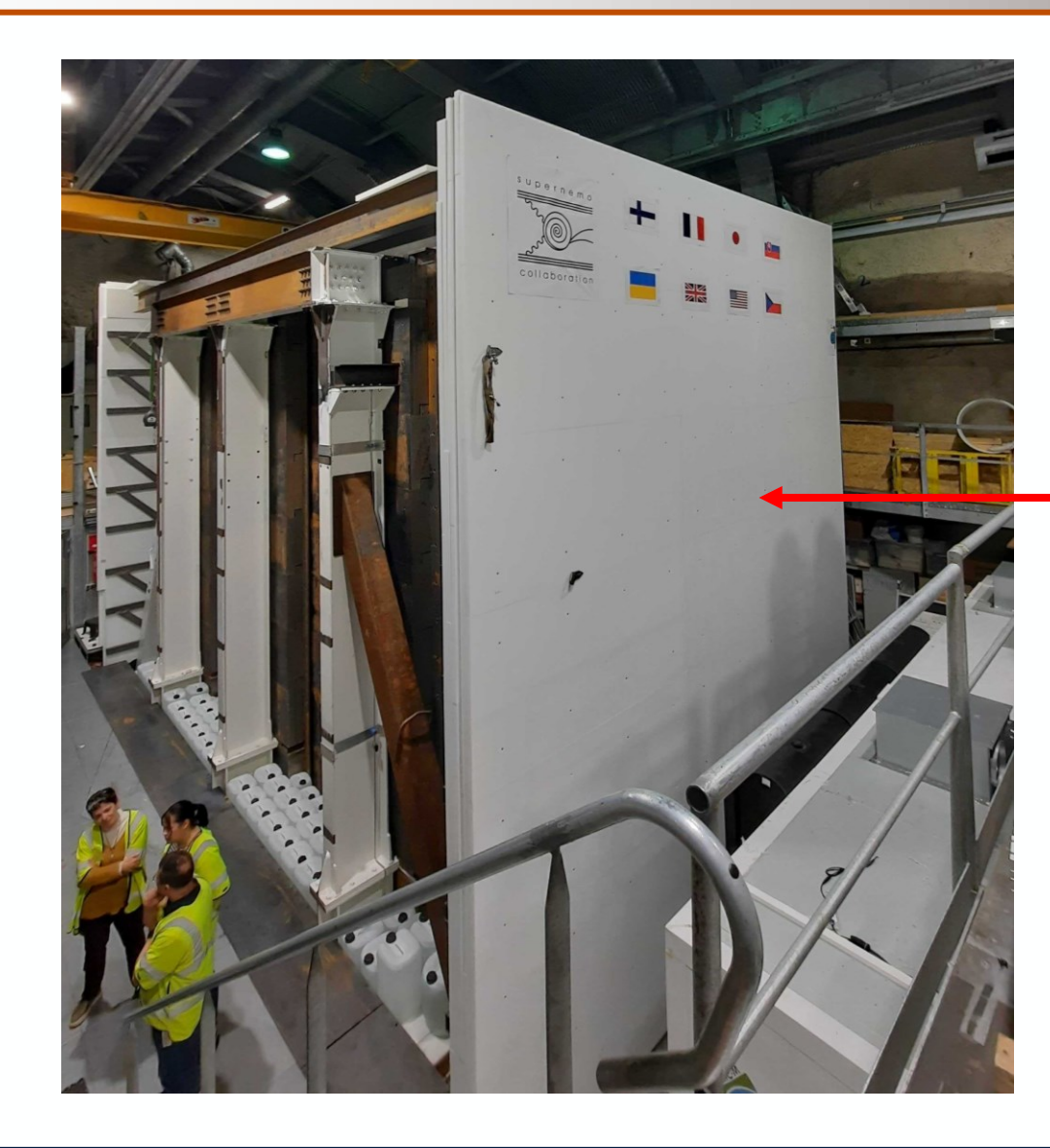
Laboratoire Souterrain de Modane (LSM)



Réduction du flux de muons d'un facteur 10⁶



Bruit de fond neutron



24 cm Polyéthylène



Bruit de fond gamma



240 tonnes de fer pur

18 cm d'épaisseur

• Recherche de la désintégration $\beta\beta0\nu$ et expérience SuperNEMO

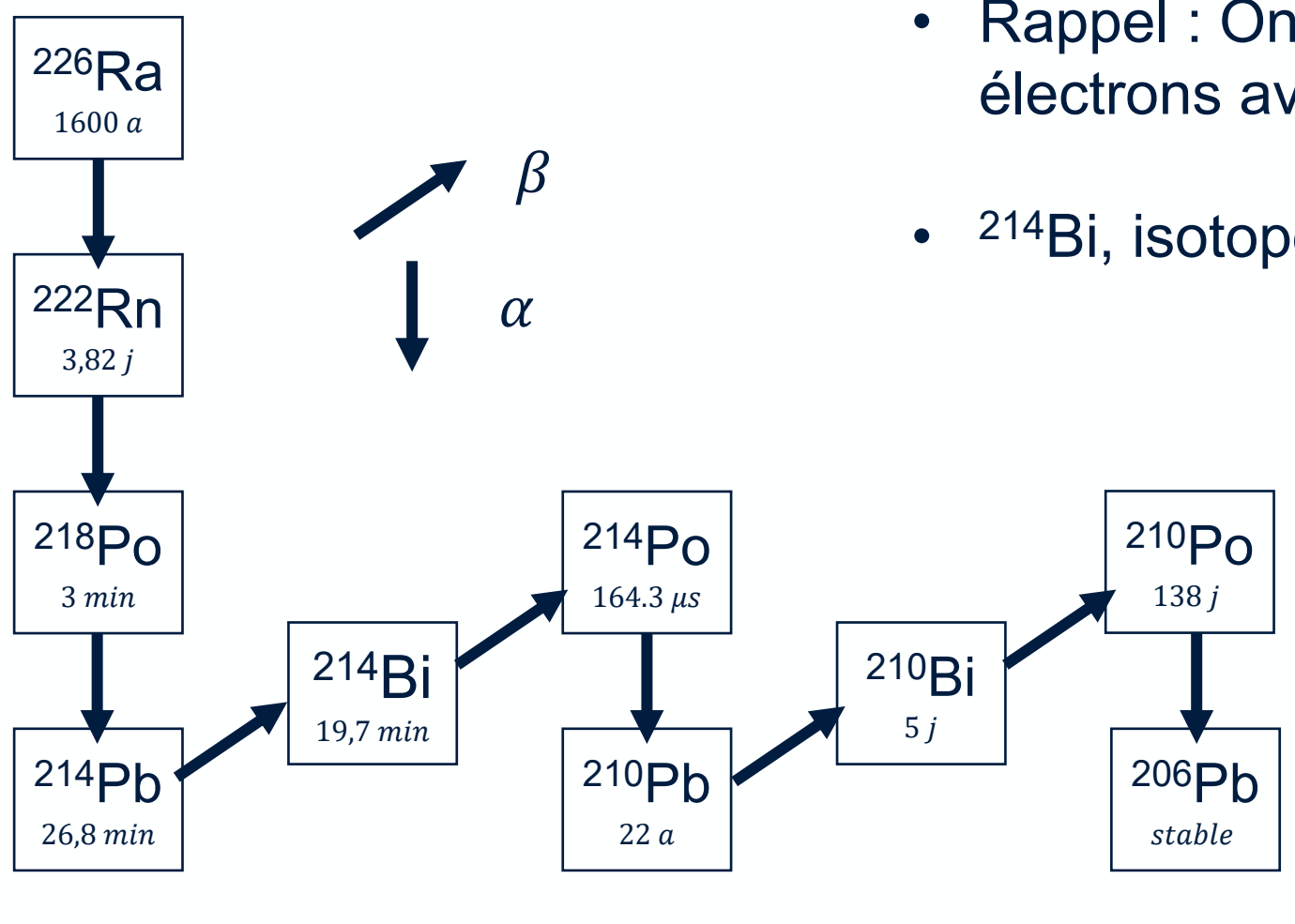
Le radon un des bruits de fond majeur

Stratégies pour réduire le niveau de radon

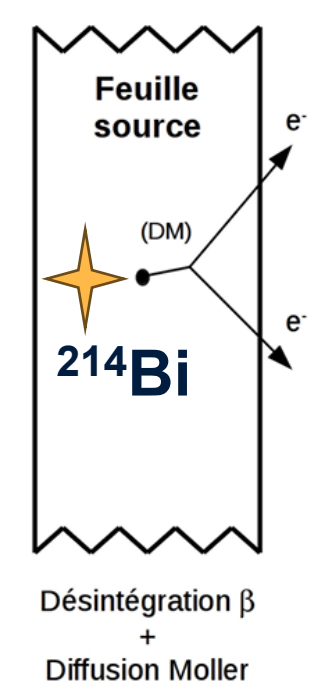
Résultats préliminaires



Bruit de fond radon



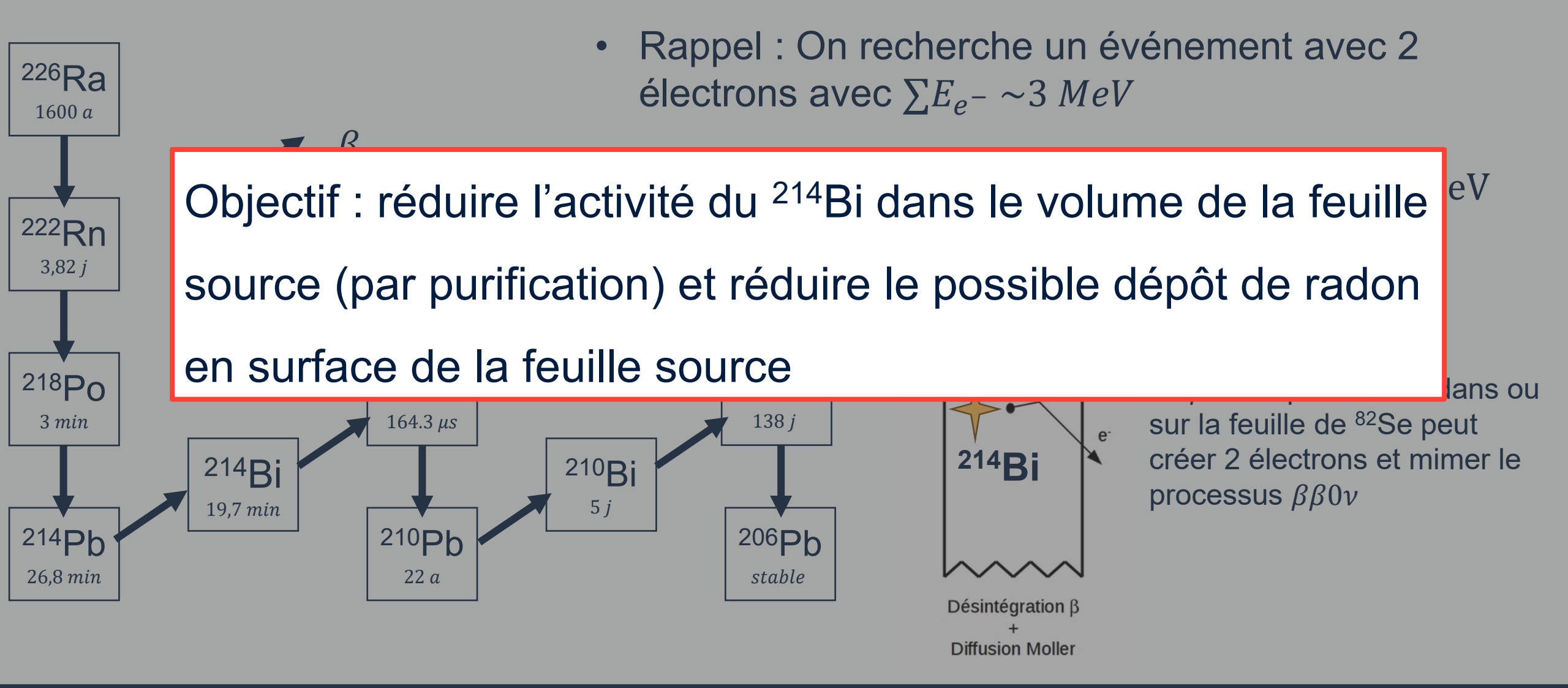
- Rappel : On recherche un événement avec 2 électrons avec $\sum E_e \sim 3 \; MeV$
- 214 Bi, isotope fils du radon avec $Q_{eta^-}=3,269~{
 m MeV}$



Le β émis par le ²¹⁴Bi dans ou sur la feuille de ⁸²Se peut créer 2 électrons et mimer le processus $\beta\beta0\nu$

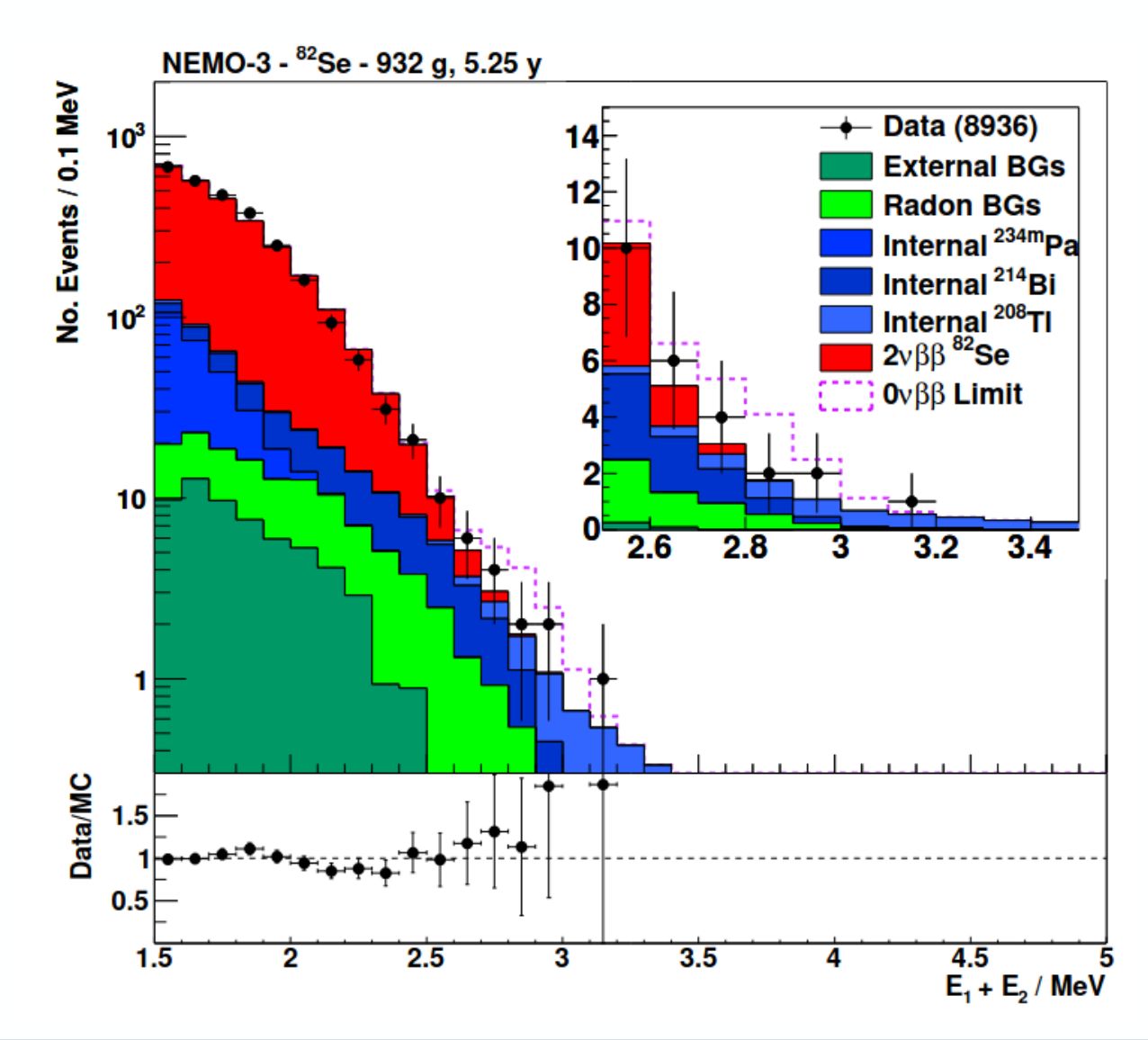


Bruit de fond radon





REX de l'expérience précédente NEMO 3



NEMO3 : contribution du radon dans la région d'intérêt

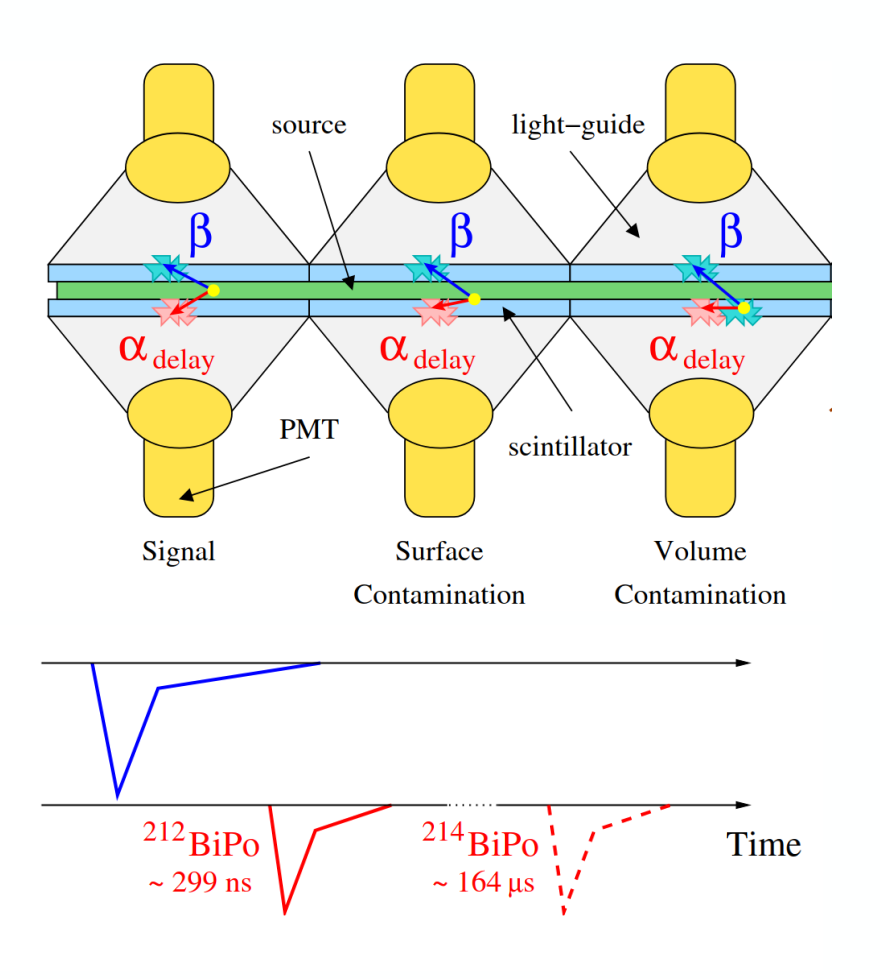
SuperNEMO: il faut aller plus loin!

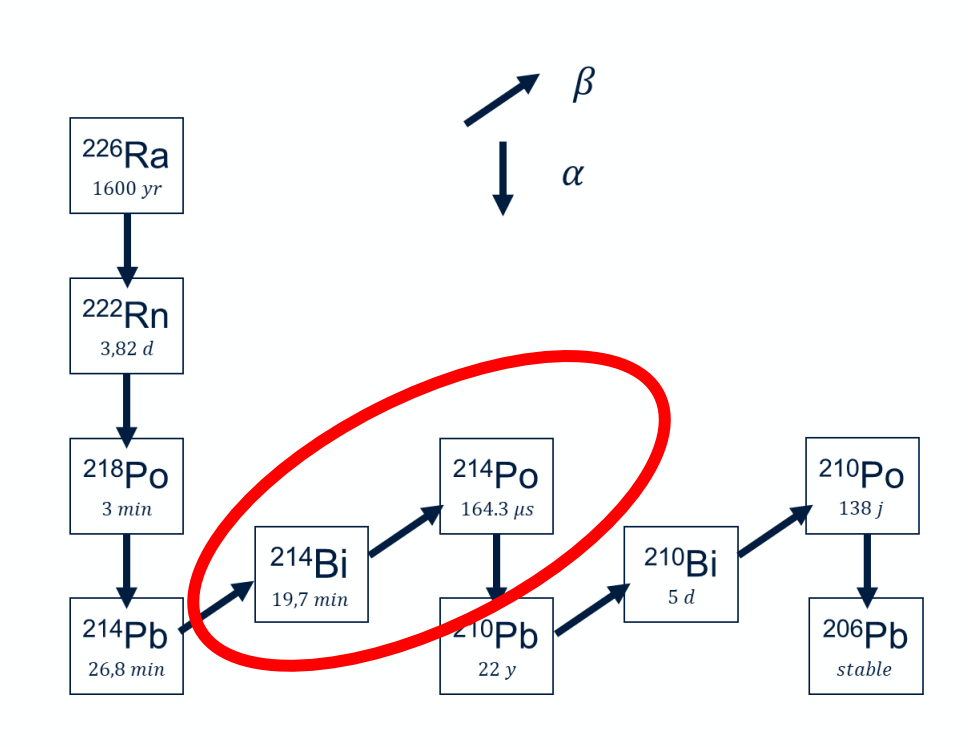
Eur Phys J C (2018) 78:821



Caractérisation du ²¹⁴Bi dans la feuille de ⁸²Se

Mesure de la radio-pureté des feuilles de 82 Se avec le détecteur « BiPo »





 $A(^{214}Bi) < 300 \ \mu Bq. kg^{-1} \ (90\% \ CL)$

• Recherche de la désintégration $\beta\beta0\nu$ et expérience SuperNEMO

Le radon un des bruits de fond majeur

Stratégies pour réduire le niveau de radon

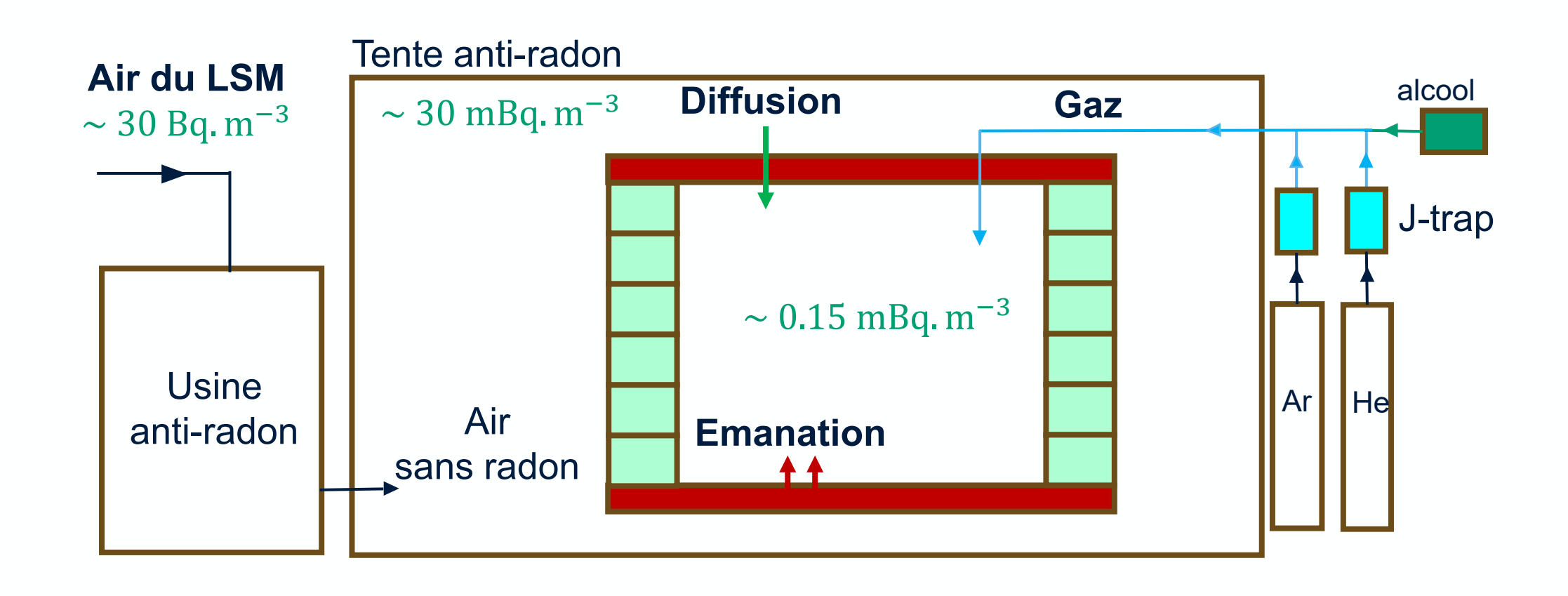
Résultats préliminaires

Antoine Lahaie



Stratégie Anti-radon

D'où vient le radon?





Sélection des matériaux

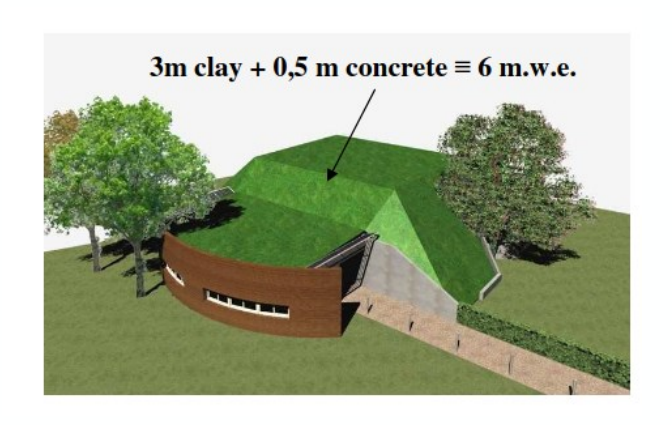
Pour atteindre l'objectif d'une activité de $0,15 mBq.m^{-3}$:

- 1. Stratégie « passive »:
 - Sélection des matériaux en contact avec le gaz du trajectographe
 - Etanchéité du trajectographe
- 2. Stratégie « active » :
 - Purification du gaz,
 - Volume tampon avec la tente anti-radon
 - Usine anti-radon

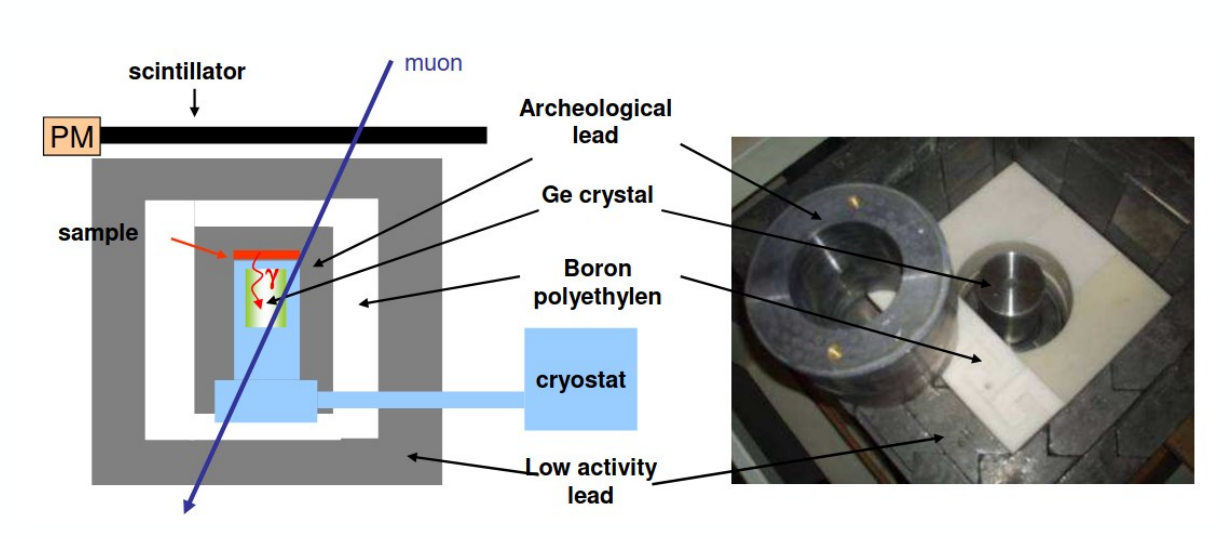


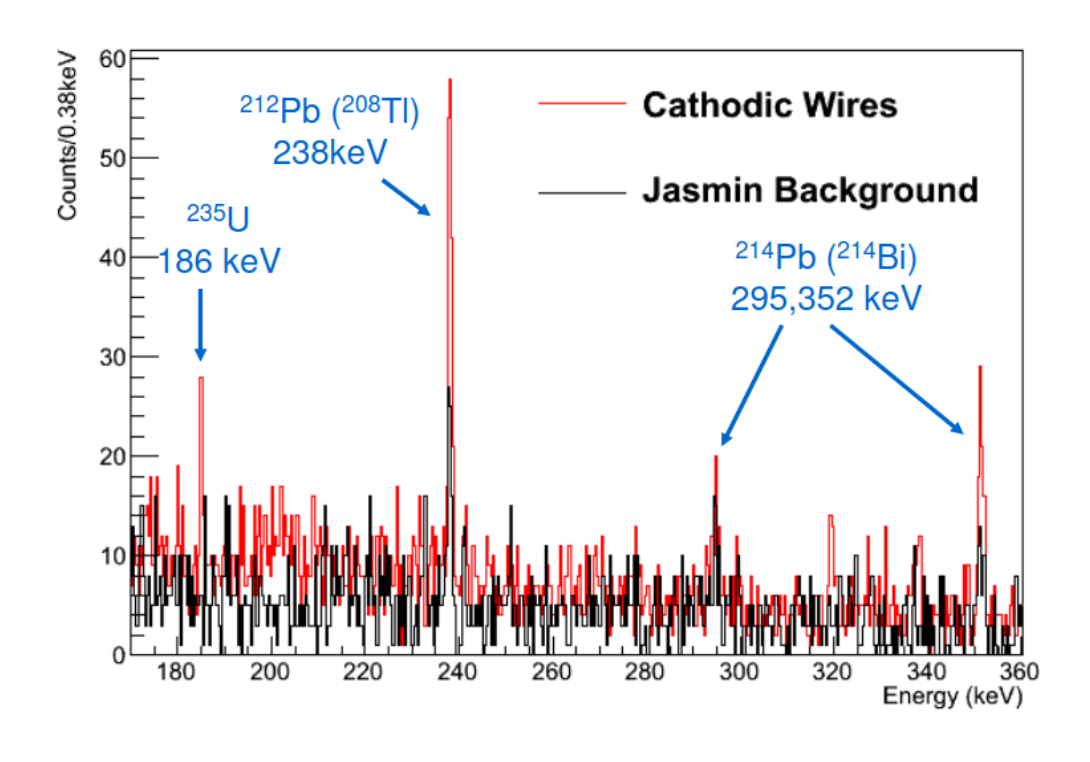
Plateforme de spectroscopie gamma HPGe

Plateforme PRISNA au LP2I Bordeaux



Mesure du ²¹⁴Bi car équilibre séculaire avec le ²²⁶Ra





Détection limite (214 Bi) avec PRISNA* : $^{25} mBq.kg^{-1}$

Pré-sélection (car sensibilité pas assez suffisante)

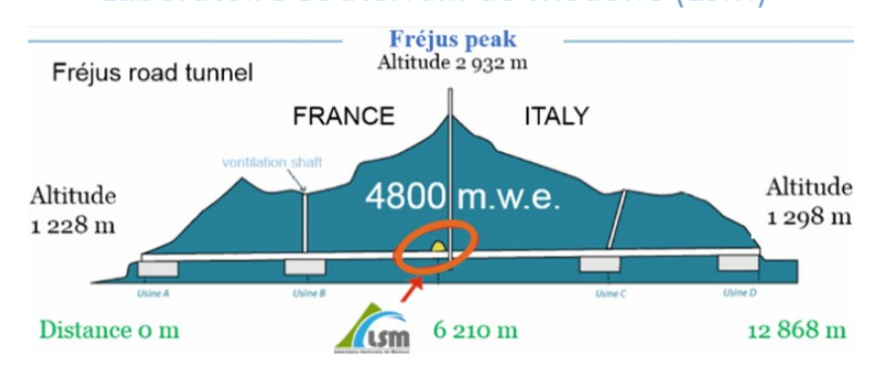
*100g d'échantillon et 7 jours de mesure



Plateforme de spectroscopie gamma HPGe

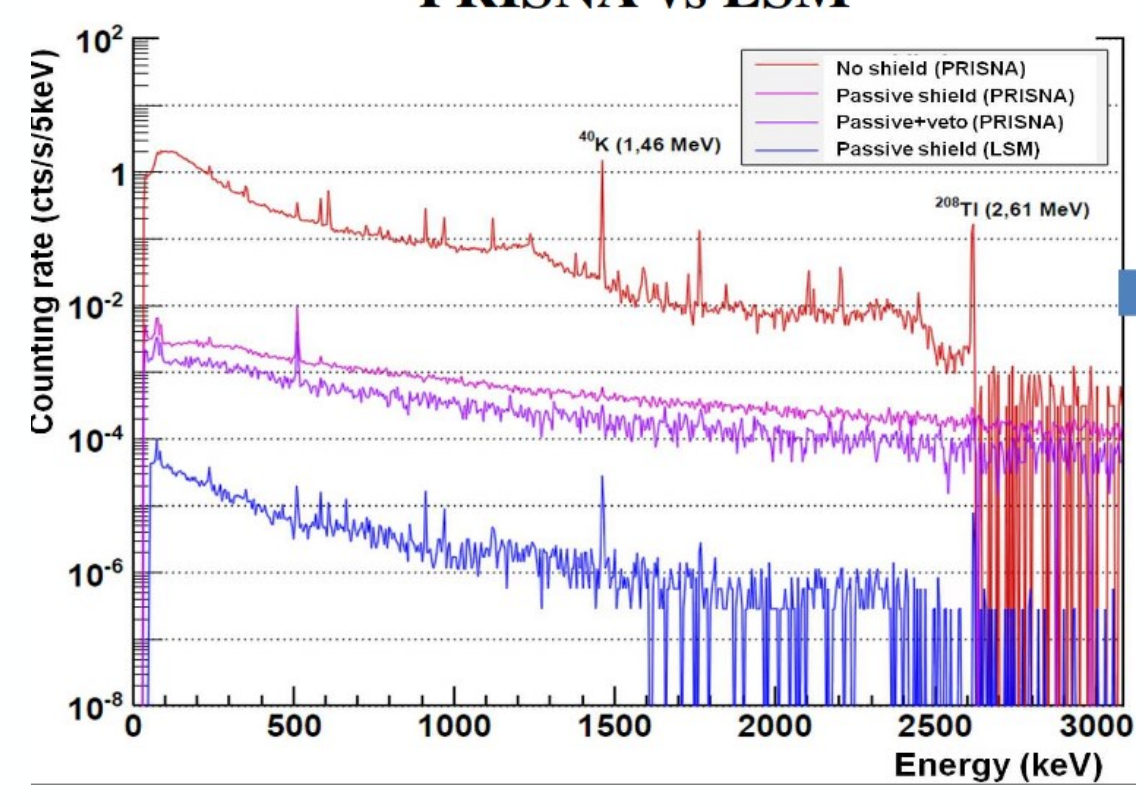
Détecteurs HPGe au LSM

Laboratoire Souterrain de Modane (LSM)



Détection limite (214 Bi) au LSM* : $0,2 mBq.kg^{-1}$

Background gamma spectrum : PRISNA vs LSM



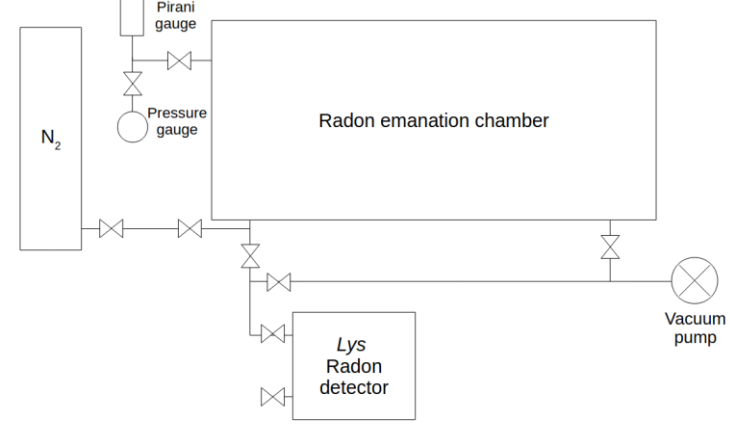
^{* 1}kg d'échantillon et 30 jours de mesures



Mesure émanation radon à Bordeaux

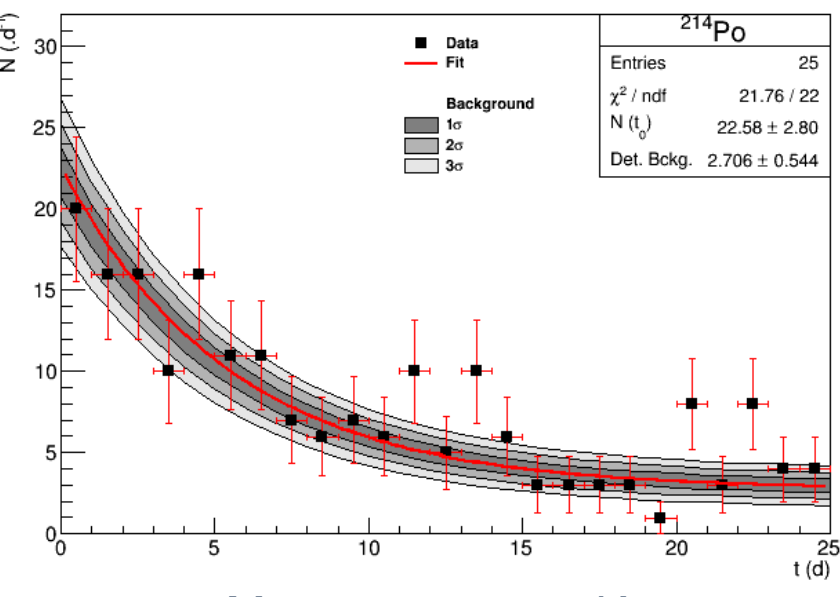
Chambre d'émanation au LP2i Bordeaux

Emanation 30 x PMTs (5")





Sensibilité de ~ 6 mBq V = 710 L



Mesure avec un détecteur électrostatique de radon

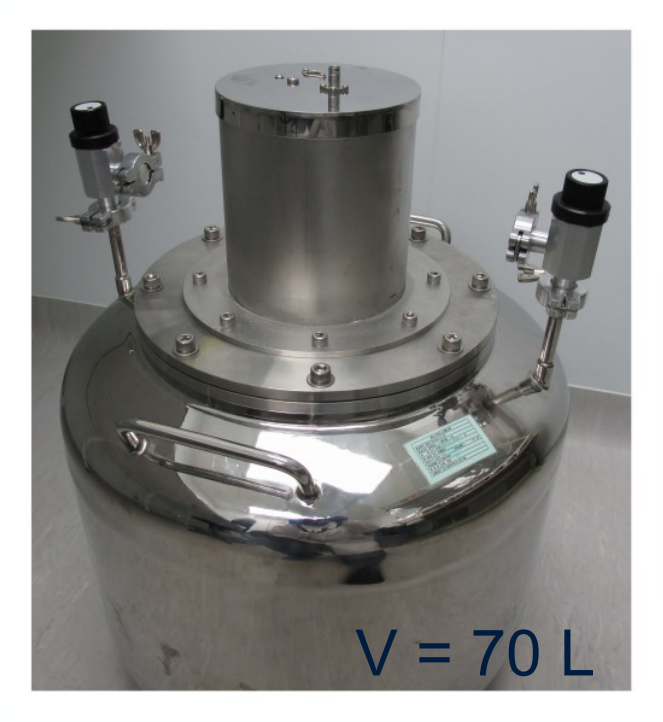
L'émanation du radon des PMTs 8" compatible le bruit de fond et inférieur :

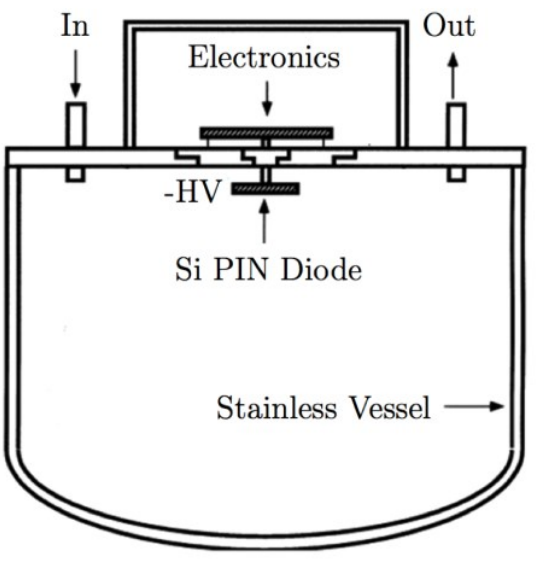
 $0.16 \, mBq/PMT$

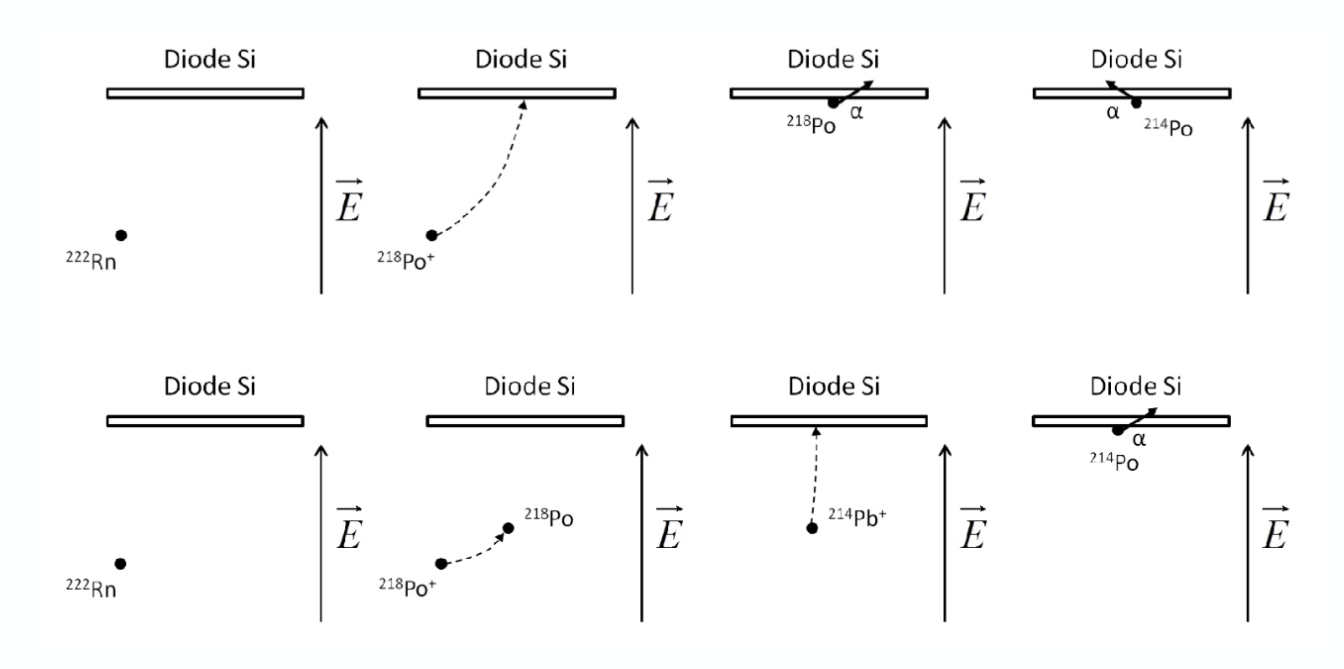


Chambre d'émanation (suite)

Détecteur électrostatique de radon





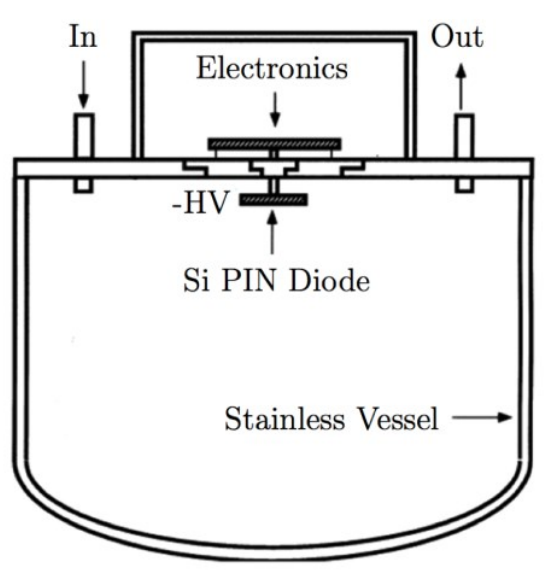




Chambre d'émanation (suite)

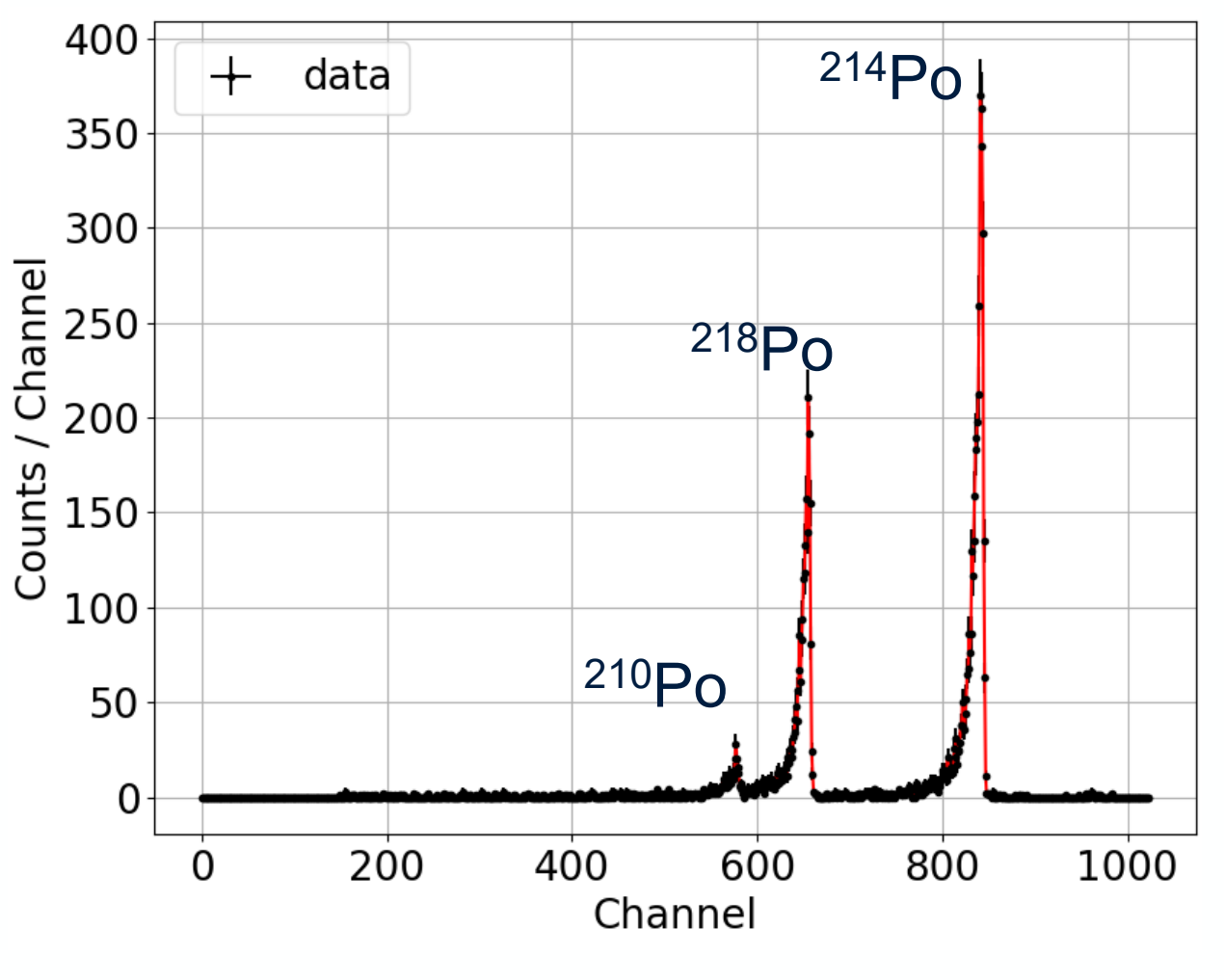
Détecteur électrostatique de radon







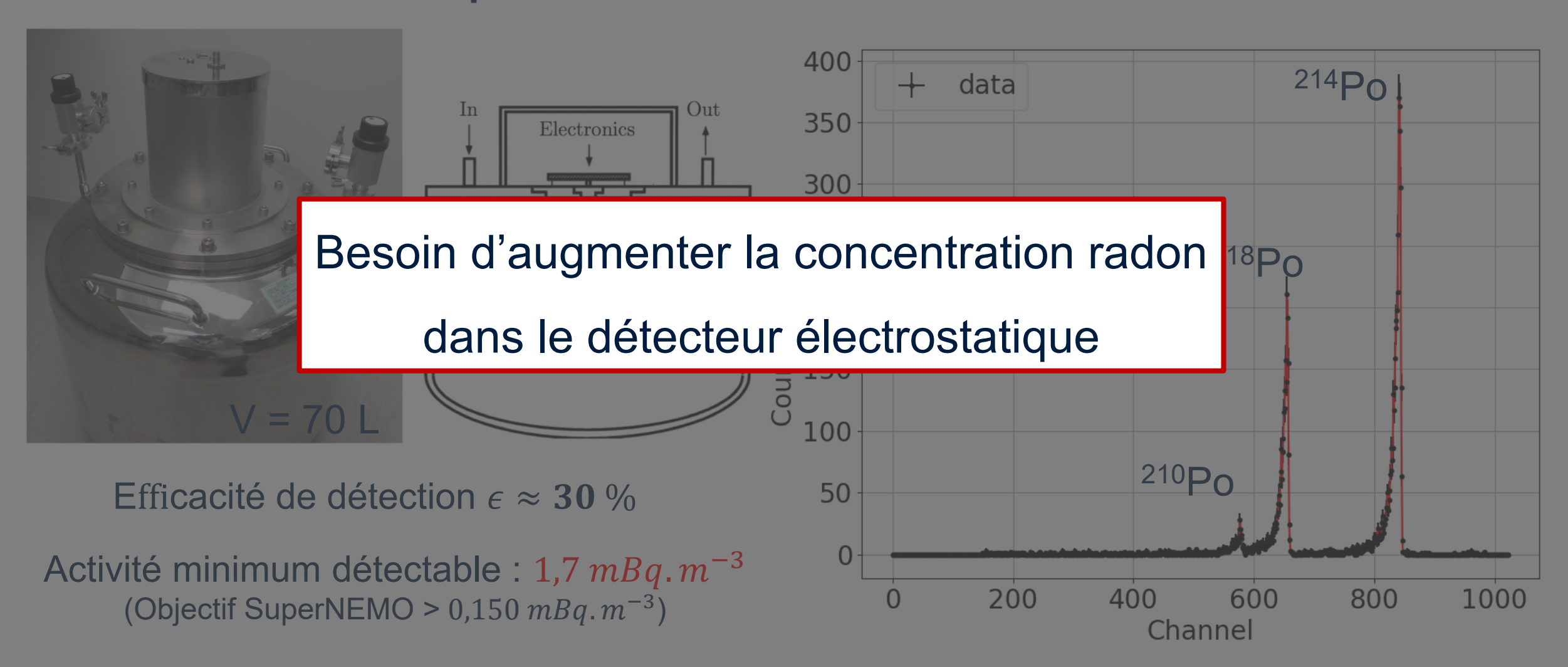
Activité minimum détectable : 1,7 $mBq.m^{-3}$ (Objectif SuperNEMO > 0,150 $mBq.m^{-3}$)





Chambre d'émanation (suite)

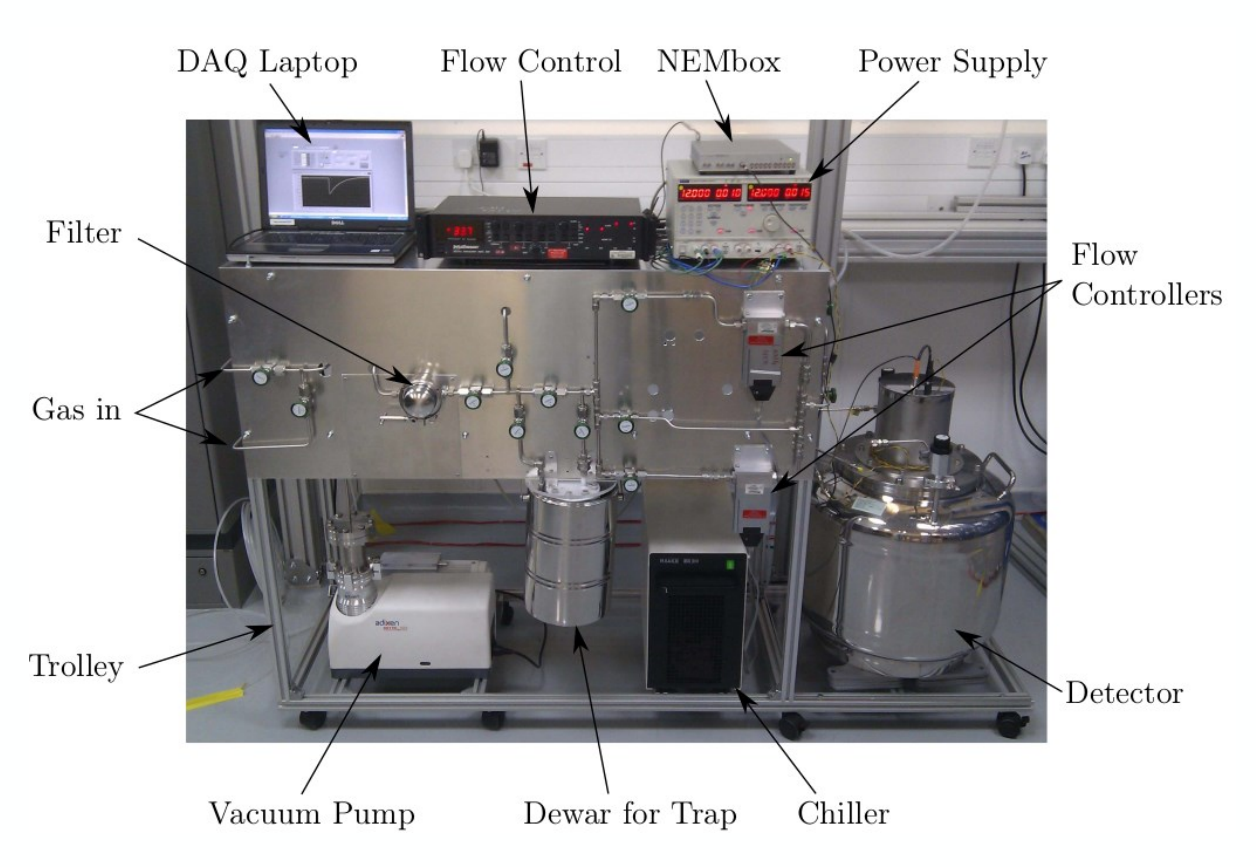
Détecteur électrostatique de radon





Ligne de concentration radon

Ligne de concentration radon



- Le gaz étudié passe au travers d'un piège au charbon actif → Le radon est piégé.
- Le radon est dépiégé en chauffant à 220°C
- Le gaz est transféré vers le détecteur électrostatique

Sensibilité : $5 \mu Bq.m^{-3}$



Mesure radon d'une partie du trajectographe





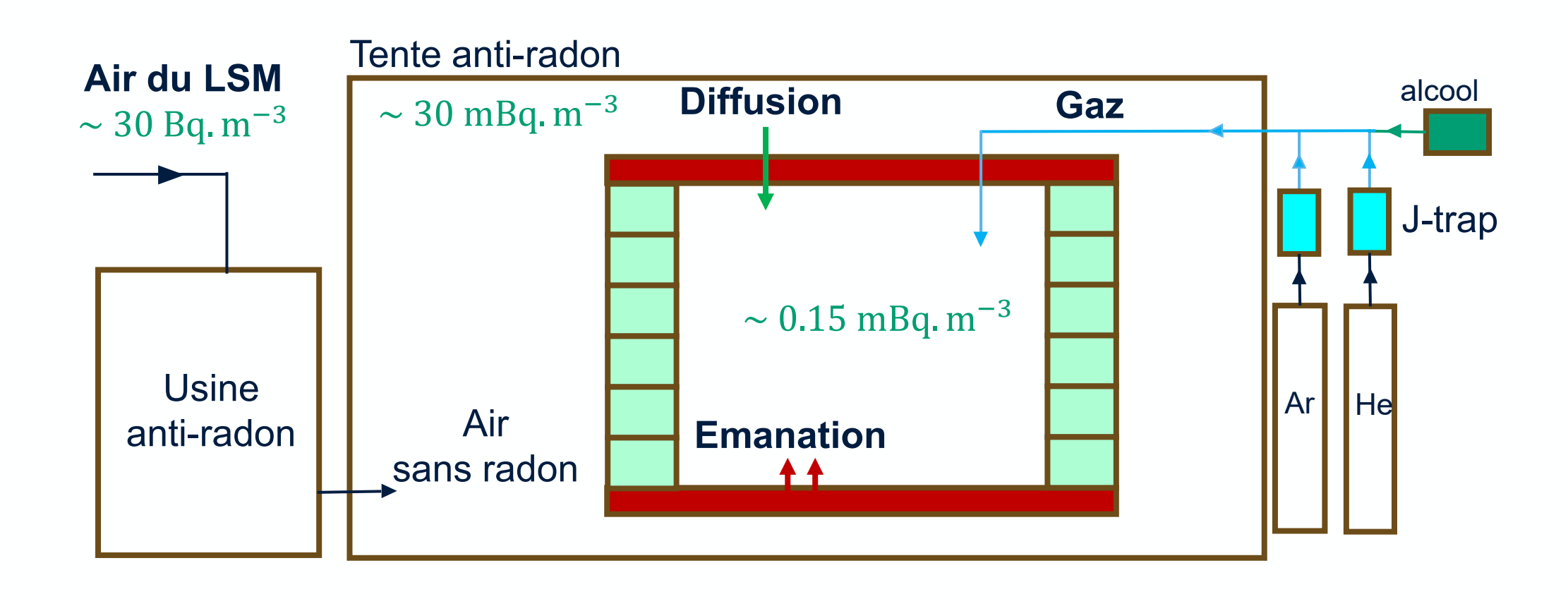
$$A_{trajectographe} = 2.7 \pm 0.3 \, mBq$$

 \rightarrow 0,150 \pm 0,02 $mBq.m^{-3}$ accessible si flux du renouvellement du gaz à 2 $m^3.h^{-1}$



Stratégie Anti-radon

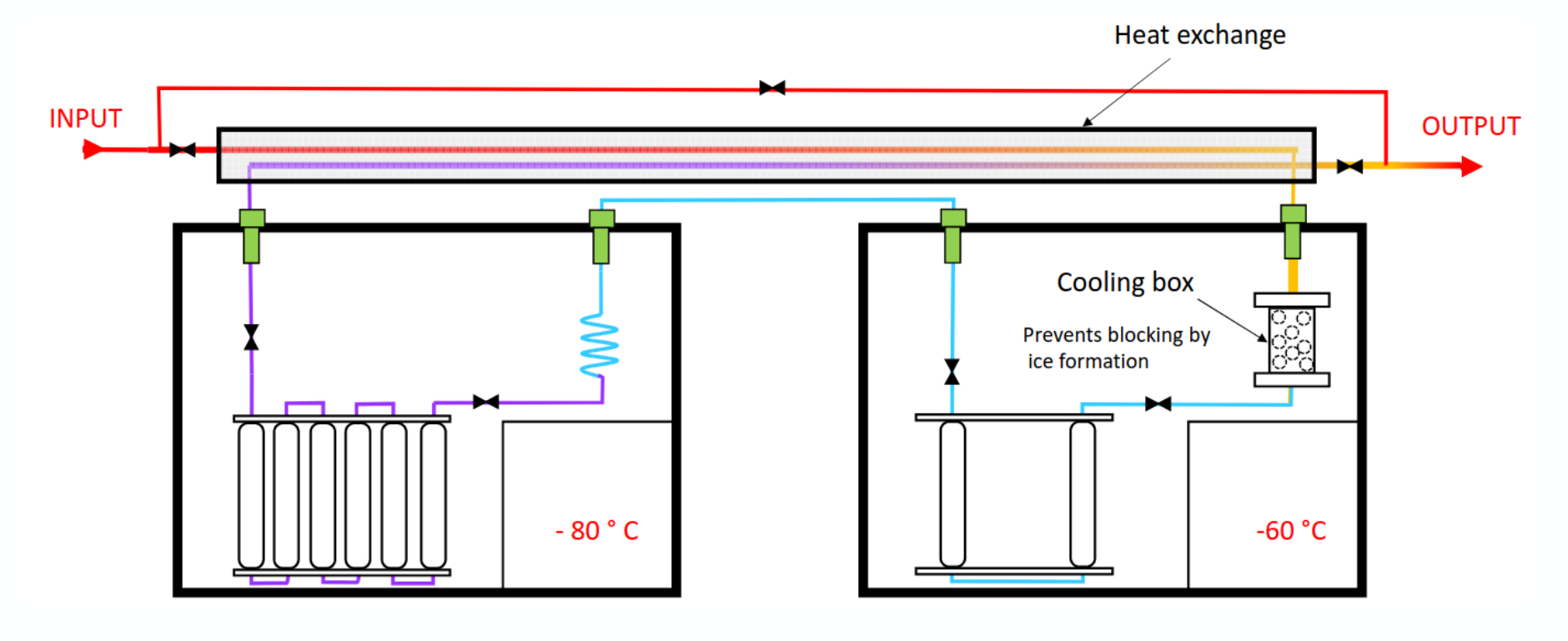
D'où vient le radon?





Purification du gaz en entrée « J-Trap »

Système de purification du radon du gaz de SuperNEMO : J-Trap



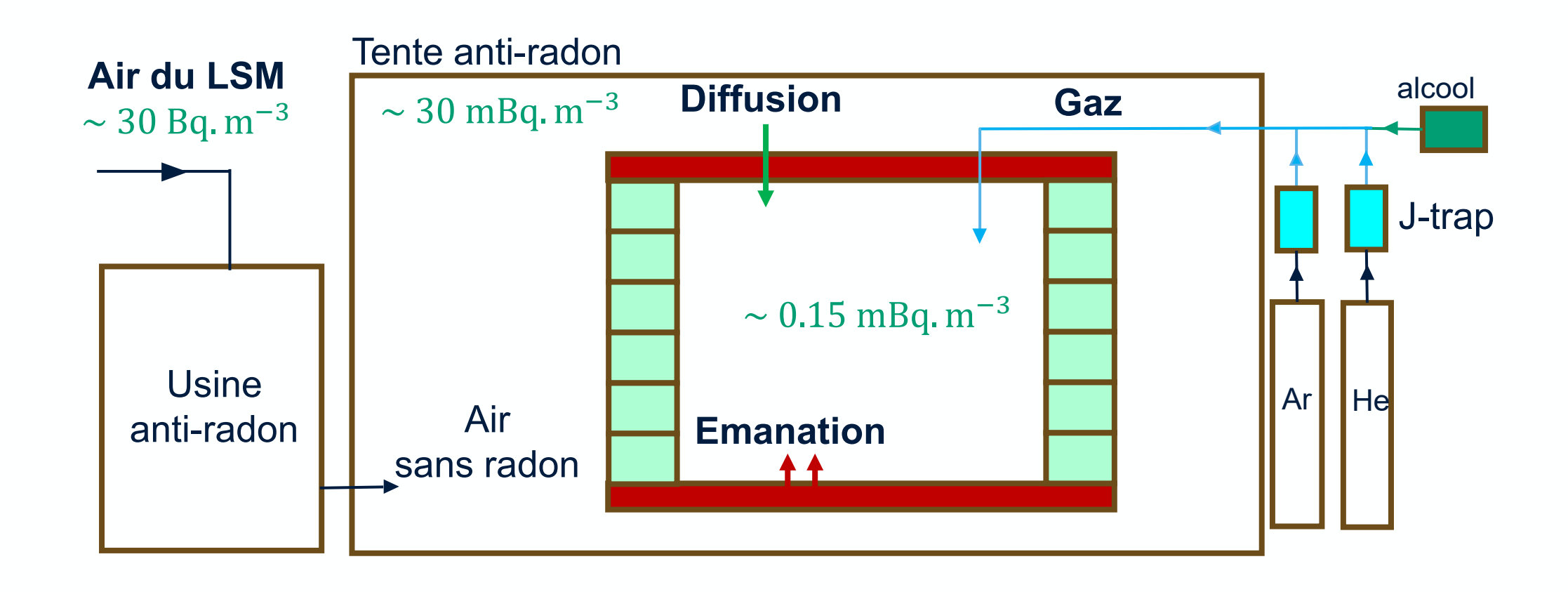
- 6 cartouches de $500 cm^3$ (1,5 kg charbon)
- Absorption du radon

- 2 cartouches de 500 cm³ (250g charbon)
- Pré-refroidissement, absorption traces d'eau



Stratégie Anti-radon

D'où vient le radon?



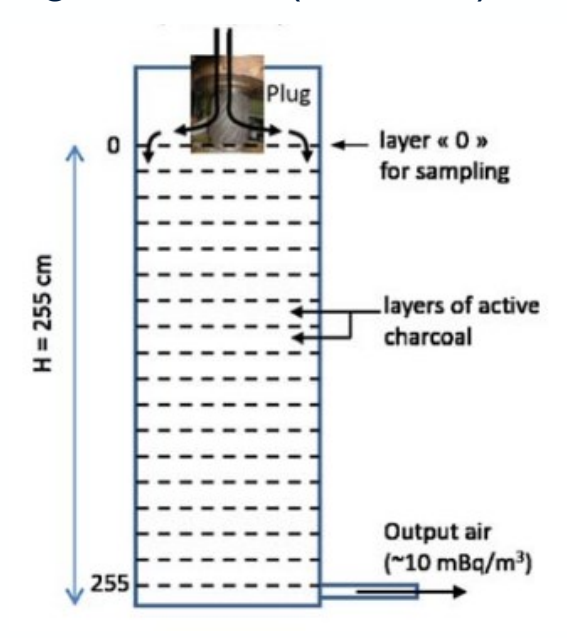


Usine anti-radon

Usine anti-radon* : même principe que l'expérience précédente NEMO-3

* Développée par le LSM

Piège à radon (charbon)



- Réduction d'un facteur 3000 de l'activité radon dans l'air : $30 \ Bq.m^{-3} \rightarrow 10 \ mBq.m^{-3}$
- Flux pour SuperNEMO : $150 m^3 . h^{-1}$

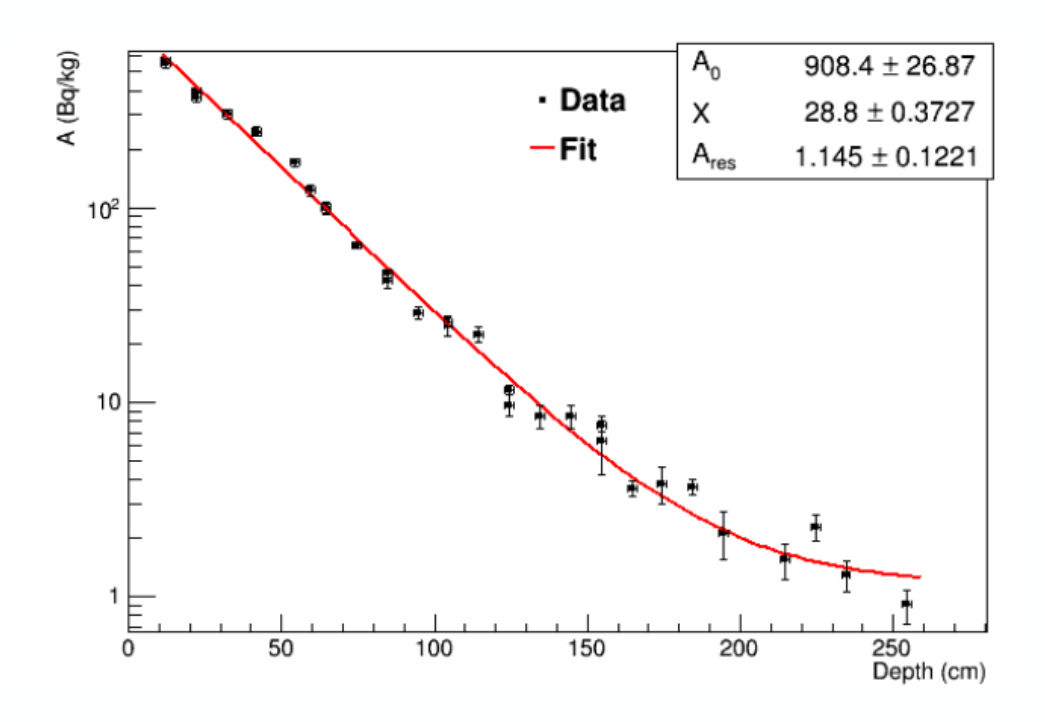
J. Phys. G: Nucl. Part. Phys. 46 (2019) 115105



Usine anti-radon

Usine anti-radon* : même principe que l'expérience précédente NEMO-3

* Développée par le LSM



J. Phys. G: Nucl. Part. Phys. 46 (2019) 115105

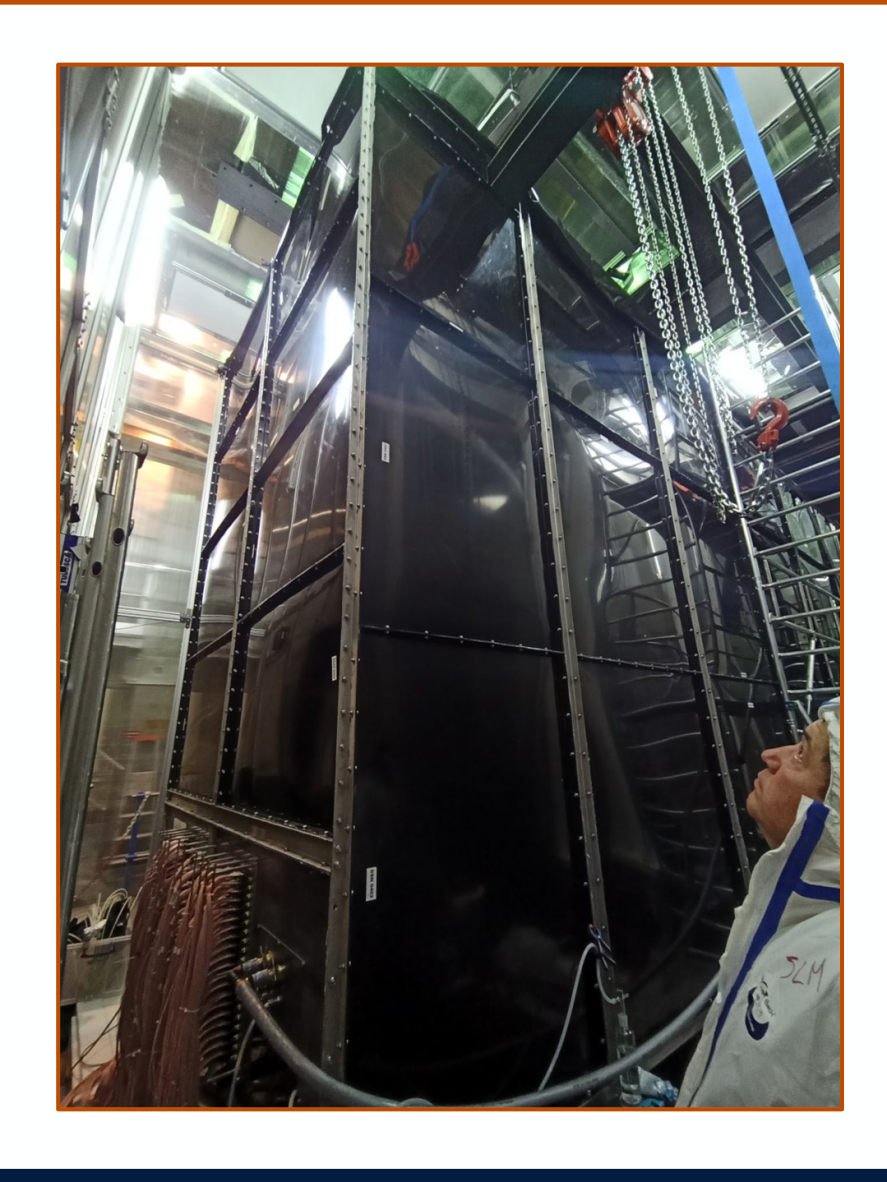
• Réduction d'un facteur 3000 de l'activité radon dans l'air : $30 Bq.m^{-3} \rightarrow 10 mBq.m^{-3}$

45

• Flux pour SuperNEMO : $150 m^3 . h^{-1}$



Volume tampon : tente anti-radon



Tente anti-radon

- Structure en polyéthylène étanche au radon
- Volume d'air à renouveler avec l'usine anti-radon :

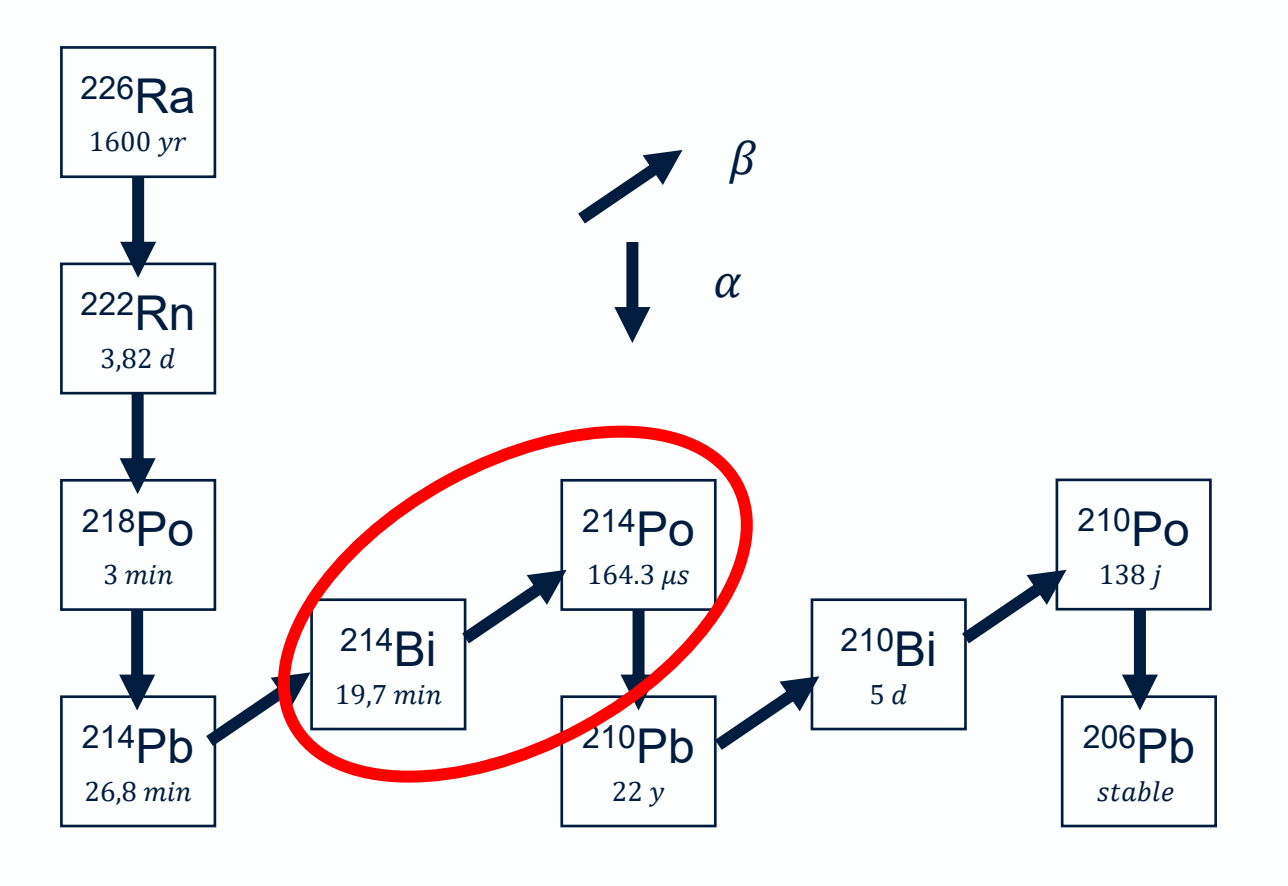
$$V = 34 m^3$$

47



Identification du radon dans SuperNEMO

• radon 222 indirectement mesuré via l'**effet BiPo** : cascade radioactive des isotopes fils: ²¹⁴Bi et ²¹⁴Po



1 électron et 1 alpha retardé :

•
$$0 < E_e < 3.27 \text{ MeV}$$

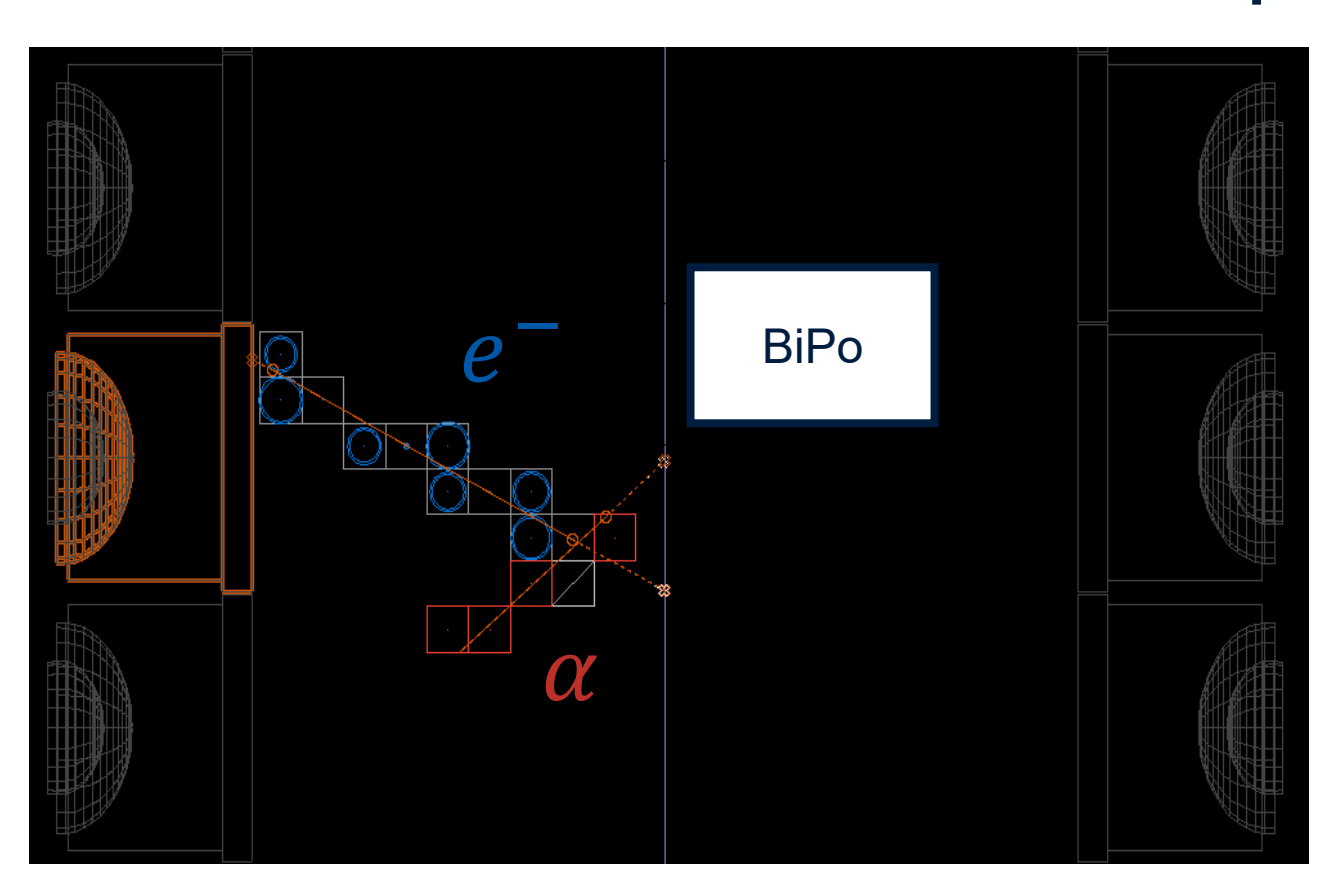
•
$$E_{\alpha} = 7.7 \text{ MeV}$$

•
$$T_{1/2}(^{214}Po) = 164,3 \mu s$$



Evénement BiPo dans SuperNEMO

Evénement BiPo vu du dessus dans SuperNEMO

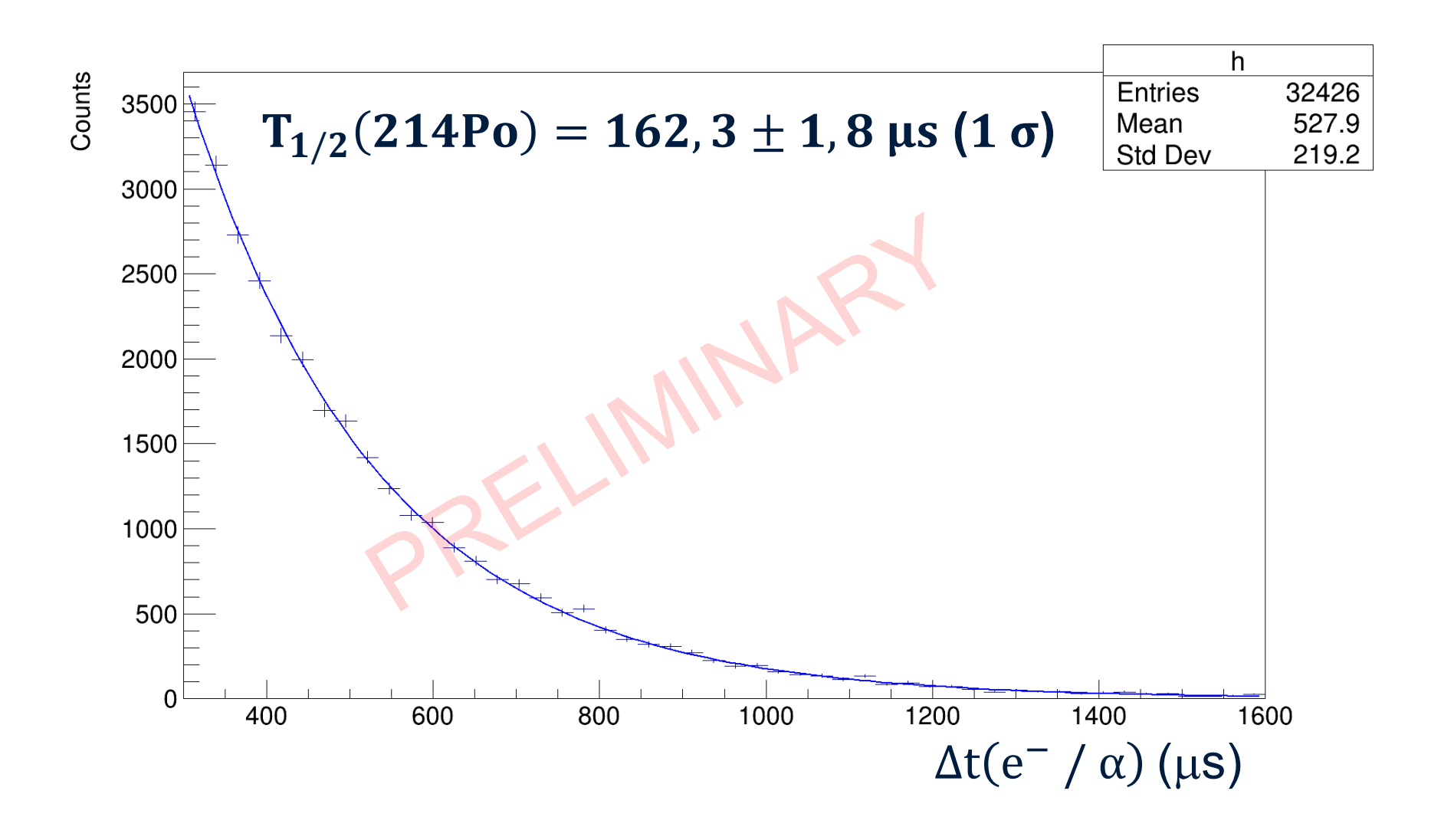


Evénement BiPo dans SuperNEMO :

- **Electron**: Longue trace + OM associé
- Alpha: Trace courte sans OM associé
- **Alpha rétardé**: $\Delta t(e^-/\alpha) \in [300-1600] \mu s$



Identification du radon dans SuperNEMO





Conclusion

- Rejet de bruit de fond radon possible dans SuperNEMO grâce à l'accès à la topologie des événements BiPo
- Gros effort dans la sélection des matériaux pour atteindre $150 \,\mu Bq.m^{-3}$ (^{214}Bi)
- Protection active contre le radon
- Bientôt de nouveaux résultats sur l'activité radon dans SuperNEMO

Antoine Lahaie

51



Merci pour votre attention!

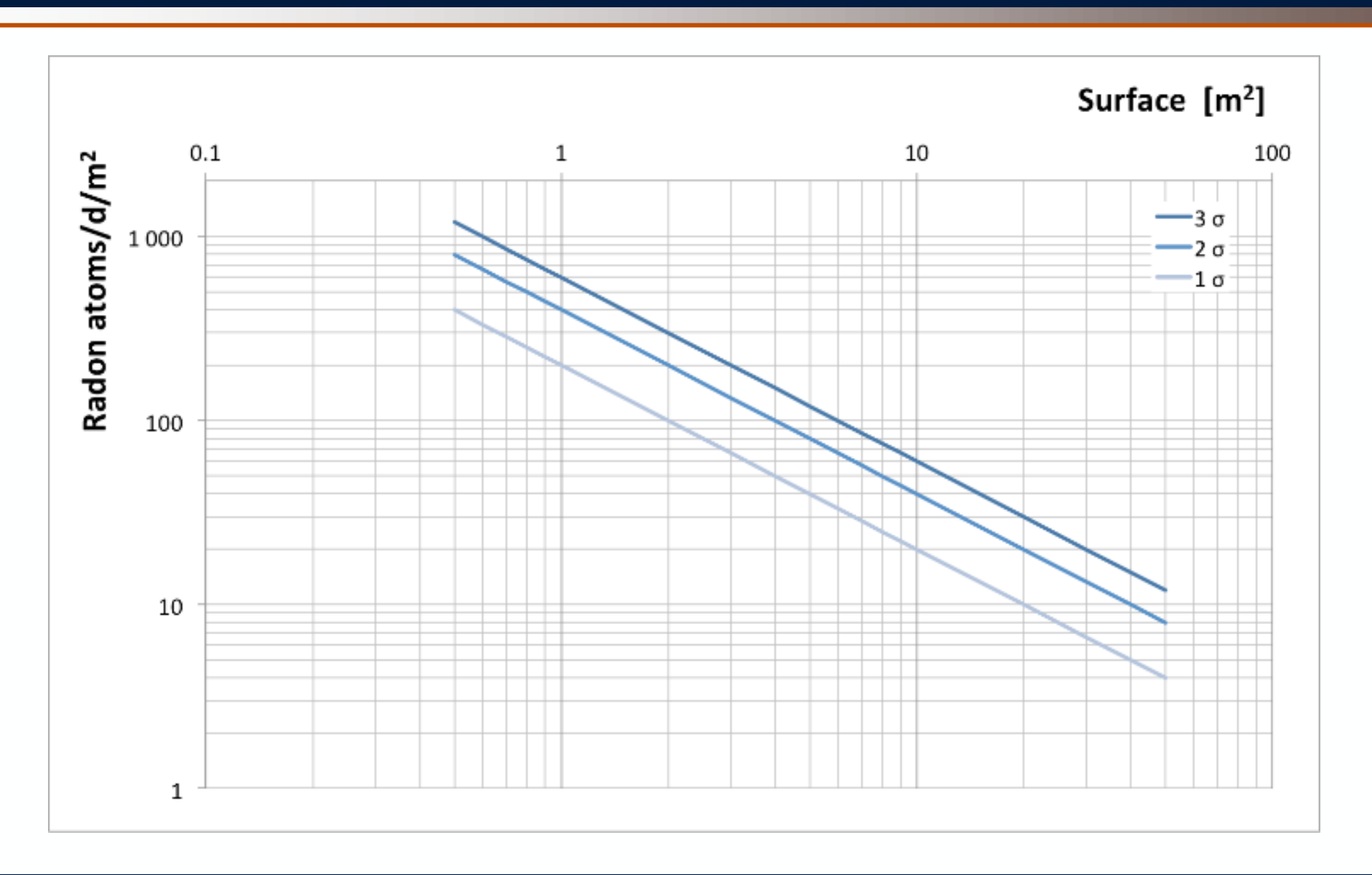
(Le radon c'est tabou, on en viendra tous à bout !)



Backup



Sensibilité chambre émanation Bordeaux





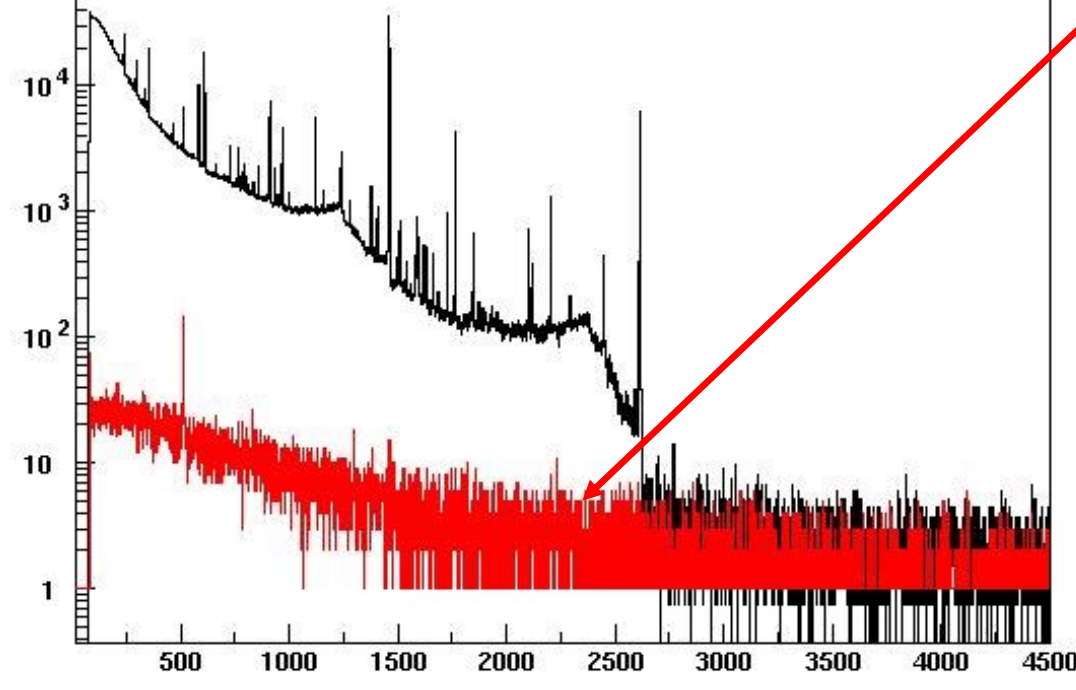
HPGe PRISNA



détecteur Ge puits

Blindage de Pb







Disparition des pics γ du bruit de fond ambiant